

شکل ۵-۱

$$\sigma_{\theta} = \frac{N}{A'} = \frac{P}{A} \cos^2 \theta = \sigma_x \cos^2 \theta \quad (5-1)$$

$$\tau_{\theta} = \frac{V}{A'} = \frac{P}{A} \sin \theta \cos \theta = \sigma_x \sin \theta \cos \theta \quad (5-2)$$

در این رابطه $\sigma_x = P/A$ تنش در جهت x در روی سطح مقطع عمود بر محور میله می باشد. تنشهای σ_{θ} و τ_{θ} که به ترتیب تنشهای عمودی و برشی در روی سطح مایل pq هستند (شکل ۵-۱d) در روی سطح مقطع بطور یکنواخت توزیع شده اند. توجه کنید وضعیت سطح مایل بوسیله زاویه θ که از محور x تا خط عمود بر سطح اندازه گیری می شود تعریف شده است.

فصل پنجم

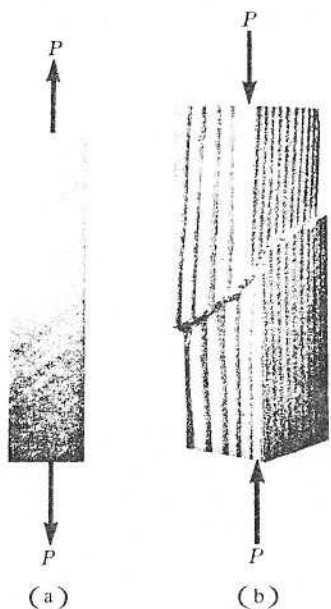
تحلیل تنش و کرنش

۵-۱ تنشها روی سطوح مایل

موقعی که یک میله منشوری تحت تأثیر کشش ساده قرار می گیرد، تنشها روی سطح مقطع mn عمود بر محور میله بطور یکنواخت توزیع شده و برابر P/A می باشد (شکل ۵-۱). حال بیاییم تنشها را روی سطح مایل pq که با مقطع mn زاویه θ تشکیل می دهد مطالعه کنیم. چون همه تارهای طولی کرنش محوری یکسان دارند، نیروهای معرف اثر قسمت سمت راست روی قسمت سمت چپ میله باید روی مقطع مایل pq بطور یکنواخت توزیع شده باشند (شکل ۵-۱b). قسمت چپ میله باید تحت اثر این نیروها و بار خارجی P در حال تعادل باشد. از این رو برآیند S نیروهای گسترده روی مقطع مایل باید برابر P باشد. نیروی S را می توان به دو مؤلفه N عمود بر سطح مایل و V مماس بر سطح مایل تجزیه نمود (شکل ۵-۱c). مقدار این مؤلفهها از روابط زیر بدست می آیند:

$$N = P \cos \theta \quad ; \quad V = P \sin \theta$$

چون مساحت A' سطح مقطع مایل برابر $A/\cos \theta$ است، تنشهای نظیر N و V به ترتیب عبارتند از



شکل ۲-۵

علامت منفی برای τ_{θ} به این معنی است که این تنش در جهتی مخالف جهت نشان داده شده در شکل ۵-۱ d عمل می‌کند. شکل ۲-۵ قرار دادهای علامت را برای تنش‌های عمودی و برشی نشان می‌دهد. تنش عمودی مثبت تنش است که از سطح مصالح بدون توجه به وضعیت آن دور شود و تنش عمودی منفی به سطح مصالح نزدیک می‌شود. تنش‌های برشی τ_{θ} وقتی مثبت هستند که نسبت به سطح مصالح در جهت عقربه‌های ساعت عمل‌کنند و در صورتی که در خلاف جهت عقربه‌های ساعت عمل‌کنند منفی می‌باشند. یک روش ساده برای نشان دادن تنش‌ها در یک نقطه از میله این است که عنصر کوچکی از ماده را به صورت جسم آزاد جدا کرده و تنش‌ها را در روی تمام وجه‌های آن نشان دهیم. برای مثال دو عنصر A و B که از میله تحت کششی بریده شده‌اند در شکل ۲-۵ مشاهده می‌شود. وضعیت عنصر A چنان است که برای آن $\theta = 0$ و در نتیجه تنها تنش‌هایی که در روی آن عمل می‌کنند $\sigma_x = P/A$ می‌باشند.

عناصر B به اندازه زاویه θ دوران کرده است و بنابراین تنش‌ها روی ضلع bd آن σ_{θ} و τ_{θ} می‌باشند که از روابط 5-1 و 5-2 بدست می‌آیند. عمود وارد بر ضلع ab نسبت به محور x زاویه $\theta + \pi/2$ می‌سازد و بنابراین با جایگزینی

معادله 5-1 نحوه تغییرات تنش عمودی σ_{θ} را نسبت به زوایای مختلف مقطع مایل نشان می‌دهد. موقعی که $\theta = 0$ ، سطح pq یا سطح مقطع mn منطبق می‌گردد و همانطوریکه انتظار می‌رود داریم $\sigma_{\theta} = \sigma_x$. با افزایش زاویه θ تنش σ_{θ} کاهش می‌یابد تا اینکه در $\theta = \pi/2$ تنش عمودی برابر صفر می‌گردد. این نتیجه نشان می‌دهد که بین تارهای طولی میله تنش‌های عمودی وجود ندارد. بدین ترتیب مشاهده می‌شود که حداکثر مقدار تنش عمودی وقتی اتفاق می‌افتد که $\theta = 0$ و برابر است با

$$\sigma_{\max} = \sigma_x \quad (5-3)$$

از معادله 5-2 مشاهده می‌شود که تنش برشی τ_{θ} در $\theta = 0$ و $\theta = \pi/2$ برابر صفر است و در $\theta = \pi/4$ مقدارش حداکثر و برابر است با

$$\tau_{\max} = \frac{\sigma_x}{2} \quad (5-4)$$

با وجود اینکه تنش برشی ماکزیم نصف تنش عمودی ماکزیم است وقتی که ماده یک میله با بار محوری در مقابل برش خیلی ضعیف تر از کشش باشد، تنش تعیین کننده تنش برشی می‌باشد. برای مثال هنگام آزمایش کشش میله مسطحی از فولاد با کربن کم و سطوح صیقلی نوارهای لغزش در روی سطوح تخت آن در امتداهایی که با محور میله زاویه تقریباً 45° تشکیل می‌دهند ظاهر می‌گردد که با چشم قابل رؤیت می‌باشد (شکل ۲-۵ a). این نوارها نشان می‌دهد که ماده در روی سطوحی که تنش برشی در آن ماکزیم است در حال شکست می‌باشد. نوارهای مزبور وقتی ظاهر می‌شوند که تنش در میله به تنش تسلیم نزدیک می‌شود.

مثال دیگری از شکست برشی در شکل ۲-۵ b مشاهده می‌گردد. این شکل یک بلوک چوبی را نشان می‌دهد که در امتداد محورش تحت فشار قرار گرفته و در اثر برش در امتداد یک صفحه 45° شکست خورده است.

معادلات 5-1 و 5-2 که برای میله تحت کشش نوشته شده‌اند برای فشار محوری نیز قابل استفاده می‌باشند به شرط آنکه برای σ_x یک مقدار منفی بکار برده شود. در این صورت برای تمام مقادیر θ بین 0 تا $\frac{\pi}{2}$ برای σ_{θ} و τ_{θ} مقادیر منفی بدست می‌آید. علامت منفی برای σ_{θ} به معنای فشاری بودن تنش عمودی است.

چون σ_x در این مثال مثبت می‌باشد، تنش عمودی σ_θ نیز مطابق شکل ۵-۴ c- مثبت است. تنش برشی τ_θ در روی ضلع ab عنصر B علامت منفی دارد. این بدان معنی است که نسبت به سطح عنصر مزبور در جهت مخالف جهت عقربه‌های ساعت عمل می‌کند (شکل ۵-۴ c).

با مقایسه معادلات 5-1 و 5-2 با معادلات 5-5 و 5-6 دو رابطه جالب بین تنش‌ها در روی دو سطح عمود بر یکدیگر بدست می‌آید.

$$\sigma_\theta + \sigma'_\theta = \sigma_x \quad (5-7)$$

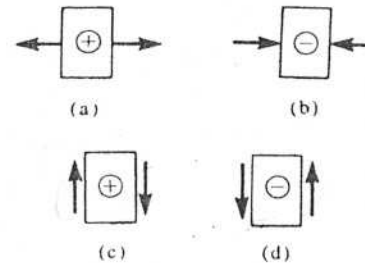
$$\tau'_\theta = -\tau_\theta \quad (5-8)$$

رابطه 5-7 نشان می‌دهد که برای یک میله تحت کشش مجموع تنش‌های عمودی در روی دو سطح عمود بر یکدیگر ثابت و برابر با σ_x می‌باشد. رابطه 5-8 نشان می‌دهد که تنش‌های برشی در روی دو سطح عمود بر هم بطور عددی مساوی ولی دارای علامت‌های مخالف می‌باشند. نتیجه اخیر قبلاً در بخش ۱-۴ نیز مشاهده گردید.

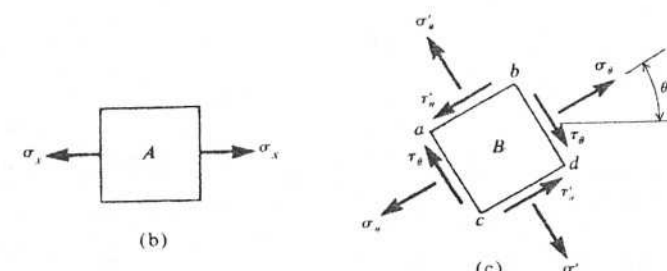
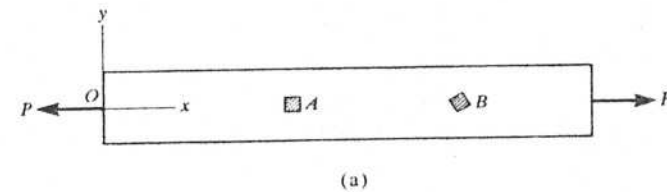
اگر به همین طریق ادامه دهیم می‌توانیم تنش‌ها را در روی اضلاع ac و cd و عنصر شکل ۵-۴ c- نیز بدست آوریم. زاویه عمود بر سطح نسبت به محور x برای ضلع ac برابر $\theta + \pi$ و برای ضلع cd برابر $\theta + 3\pi/2$ می‌باشد. بدین طریق مشاهده می‌کنیم که تنش‌های عمودی و برشی در روی اضلاع ac و bd یکسان هستند، همچنین تنش‌ها در روی اضلاع ab و cd نیز یکسان می‌باشند.

در موقع انجام محاسبات عددی برای تعیین تنش‌ها در روی ضلعی مانند cd، بعضی از مواقع ساده‌تر است که زاویه θ در جهت منفی (جهت عقربه‌های ساعت) اندازه‌گیری شود. برای مثال اگر زاویه θ در شکل ۵-۴ c- مساوی 30° باشد، در موقع استفاده از معادلات 5-1 و 5-2 می‌توان هر یک از زوایای $30^\circ + 270^\circ = 300^\circ$ یا $30^\circ - 60^\circ$ را برای مشخص کردن سطح cd بکار برد.

۵-۲ تنش دو محوری



شکل ۵-۳ قرار داده‌های علامت برای تنش‌های عمودی و برشی



شکل ۵-۴

در معادلات 5-1 و 5-2 تنش‌ها در روی سطح ab به دست می‌آیند.

$$\sigma'_\theta = \sigma_x \cos^2(\theta + \frac{\pi}{2}) = \sigma_x \sin^2\theta \quad (5-5)$$

$$\tau'_\theta = \sigma_x \sin(\theta + \frac{\pi}{2}) \cos(\theta + \frac{\pi}{2}) = -\sigma_x \sin\theta \cos\theta \quad (5-6)$$

از این معادله رابطه زیر بدست می‌آید :

$$\sigma_{\theta} = \sigma_x \cos^2 \theta + \sigma_y \sin^2 \theta \quad (5-9)$$

همین طور با نوشتن معادله تعادل عنصر مثلثی در امتداد τ_{θ} حاصل می‌شود

$$\tau_{\theta} A \sec \theta = \sigma_x A \sin \theta - \sigma_y A \tan \theta \cos \theta$$

و یا پس از ساده کردن

$$\tau_{\theta} = (\sigma_x - \sigma_y) \sin \theta \cos \theta \quad (5-10)$$

با استفاده از روابط مثلثاتی زیر

$$\cos^2 \theta = \frac{1}{2} (1 + \cos 2\theta) \quad ; \quad \sin^2 \theta = \frac{1}{2} (1 - \cos 2\theta)$$

$$\sin \theta \cos \theta = \frac{1}{2} \sin 2\theta$$

معادلات 5-9 و 5-10 به صورت زیر در می‌آیند :

$$\sigma_{\theta} = \frac{1}{2} (\sigma_x + \sigma_y) + \frac{1}{2} (\sigma_x - \sigma_y) \cos 2\theta \quad (5-11)$$

$$\tau_{\theta} = \frac{1}{2} (\sigma_x - \sigma_y) \sin 2\theta \quad (5-12)$$

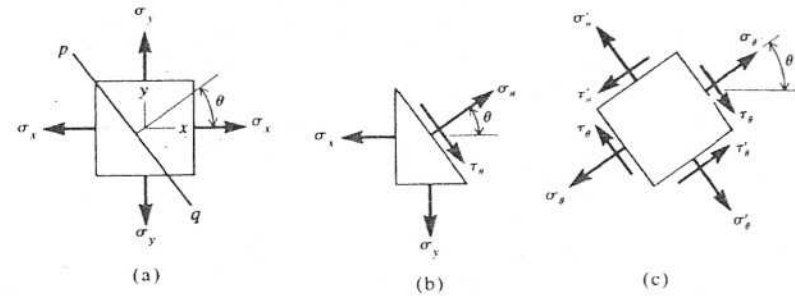
توجه کنید قرار دادهای علامت برای σ_{θ} و τ_{θ} در معادلات فوق همان قرار دادهایی است که در بخش قبلی بکار رفته است (شکل ۵-۳).

اگر در معادلات 5-11 و 5-12 بجای θ کمیت $\theta + \pi/2$ را قرار دهیم تنشهای σ'_{θ} و τ'_{θ} در روی صفحه‌ای که با صفحه تنشهای σ_{θ} و τ_{θ} زاویه 90° می‌سازد بدست می‌آید (شکل ۵-۵ c).

$$\sigma'_{\theta} = \frac{1}{2} (\sigma_x + \sigma_y) - \frac{1}{2} (\sigma_x - \sigma_y) \cos 2\theta \quad (5-13)$$

$$\tau'_{\theta} = -\frac{1}{2} (\sigma_x - \sigma_y) \sin 2\theta \quad (5-14)$$

حال بیاییم حالت کلی تری از تنش را در نظر بگیریم که در آن تنشهای عمودی در دو جهت x و y در روی یک عنصر اثر می‌کنند (شکل ۵-۵ a). در مقابل



شکل ۵-۵

تنش یک بعدی یا یک محوری مورد بحث در بخش قبل، حالت تنش مزبور تنش دو محوری خوانده می‌شود. ما به تنشهای دو محوری در مطالعه مخازن سیالات تحت فشار، تیرها، محورهای مکانیکی و تعداد زیادی از اجزاء سازه‌ای و مکانیکی دیگر بر می‌خوریم که در فصل‌های بعد مورد بحث قرار می‌گیرند. در اینجا ما می‌خواهیم تنش‌ها را در روی یک مقطع مایل pq که عمود بر سطحش زاویه θ با محور x می‌سازد تعیین کنیم (شکل ۵-۵ a). تنشهایی که بر سطح مایل pq اثر می‌کنند تنش عمودی σ_{θ} و تنش برشی τ_{θ} مطابق شکل ۵-۵ b می‌باشند.

برای تعیین کردن تنشهای σ_{θ} و τ_{θ} تعادل عنصر مثلثی را که از عنصر مستطیلی شکل ۵-۵ a بریده شده است در نظر می‌گیریم (شکل ۵-۵ b). اگر مساحت سطح قائمی را که σ_x بر آن اثر می‌کند A فرض کنیم، در این صورت مساحت سطح افقی عنصر مثلثی که σ_y بر آن اثر می‌کند برابر $A \tan \theta$ و مساحت سطح مایل برابر $A \sec \theta$ می‌باشد. بدین طریق نیروی کل بر وجه عمود بر محور x برابر $\sigma_x A$ و نیروی کل بر وجه عمود بر محور y برابر $\sigma_y A \tan \theta$ می‌باشد. هر یک از این نیروها را می‌توان به دو مؤلفه عمود بر یکدیگر تجزیه نمود بطوریکه یک مؤلفه در امتداد سطح مایل و مؤلفه دیگر در امتداد عمود بر سطح مایل باشد. با نوشتن معادله تعادل عنصر مثلثی در امتداد σ_{θ} نتیجه می‌شود

$$\sigma_{\theta} A \sec \theta = \sigma_x A \cos \theta + \sigma_y A \tan \theta \sin \theta$$

۳-۵ کرنشها در تنش دو محوری

کرنش در جهت x برای عنصری در تنش دو محوری (شکل ۵-۵ a) نه تنها به تنش σ_x در جهت x بلکه به علت اثر ضریب پواسون (که در بخش ۶-۱ توضیح داده شد) به تنش در جهت y نیز بستگی دارد. با فرض اینکه قانون هوک در مورد ماده مورد نظر صادق باشد، کرنش در جهت x تحت اثر σ_x برابر σ_x/E و تحت اثر σ_y برابر $-\nu\sigma_y/E$ می باشد. بدین ترتیب اگر هر دو تنش σ_x و σ_y بطور همزمان اثر کنند، کرنش در جهت x برابر می شود با

$$\epsilon_x = \frac{1}{E} (\sigma_x - \nu\sigma_y) \quad (5-17)$$

همین طور برای کرنش در جهت y رابطه زیر را پیدا می کنیم:

$$\epsilon_y = \frac{1}{E} (\sigma_y - \nu\sigma_x) \quad (5-18)$$

کرنش در جهت z نیز برابر است با

$$\epsilon_z = -\frac{\nu}{E} (\sigma_x + \sigma_y) \quad (5-19)$$

از معادلات 5-17 و 5-18 تنشهای σ_x و σ_y را می توان بر حسب توابعی از کرنشهای ϵ_x و ϵ_y بیان نمود.

$$\sigma_x = \frac{(\epsilon_x + \nu\epsilon_y) E}{1 - \nu^2} \quad ; \quad \sigma_y = \frac{(\epsilon_y + \nu\epsilon_x) E}{1 - \nu^2} \quad (5-20)$$

وقتی که کرنشهای ϵ_x و ϵ_y معلوم باشند (برای مثال از روی اندازه گیری تغییر شکل ها) از معادلات فوق برای محاسبه تنشهای σ_x و σ_y می توان استفاده نمود. تغییر حجم ماده ای ارتجاعی در تنش دو محوری در واحد حجم را می توان بر حسب کرنشها بدست آورد. ابعاد عنصری از ماده در جهت های x ، y و z به ترتیب به نسبت $\frac{1+\epsilon_x}{1}$ ، $\frac{1+\epsilon_y}{1}$ و $\frac{1+\epsilon_z}{1}$ افزایش می یابد. بنابراین حجم میله

با ترکیب نمودن دو معادله 5-11 و 5-13 نتیجه می شود

$$\sigma_\theta + \sigma_{\theta'} = \sigma_x + \sigma_y \quad (5-15)$$

این رابطه مجدداً نشان می دهد که مجموع تنشهای عمودی در روی هر دو سطح عمود بر هم مقدار ثابتی است. همچنین مقایسه معادله 5-12 با معادله 5-14 مجدداً نشان می دهد که تنشهای برشی در روی دو سطح عمود بر هم بطور عددی مساوی و جهتشان مخالف یکدیگر می باشد (معادله 5-8 را ببینید).

با دوران عنصر شکل 5-5 c از $\theta = 0$ تا $\theta = \pi/2$ ، تنش عمودی σ_θ از σ_x تا σ_y تغییر می کند (معادله 5-11 را ببینید). بدین ترتیب یکی از این تنشها بزرگترین و دیگری کوچکترین مقدار σ_θ می باشد. این مقادیر ماکزیمم و مینیمم تنش عمودی را تنشهای اصلی می گویند و دو صفحه ای که روی آنها تنشهای مذکور اثر می کنند به صفحه های اصلی موسوم می باشند. از معادله 5-12 نتیجه می شود که بر روی صفحه های اصلی تنش برشی وجود ندارد.

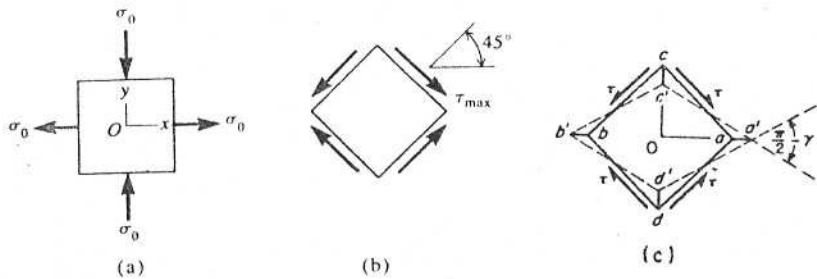
تنش برشی τ_θ به ازای $\theta = 0$ برابر صفر و با افزایش θ اضافه می شود تا اینکه در $\theta = \frac{\pi}{4}$ به حد ماکزیمم می رسد. ماکزیمم تنش برشی برابر است با (معادله 5-12)

$$\tau_{\max} = \frac{\sigma_x - \sigma_y}{2} \quad (5-16)$$

از این معادله نتیجه می شود که تنش برشی ماکزیمم نصف تفاضل تنشهای اصلی می باشد. اگر تنشهای σ_x و σ_y مساوی باشند روی هیچ یک از صفحه های مایل تنش برشی وجود نخواهد داشت.

باید توجه نمود که بحث بالا در مورد تنشهای برشی ماکزیمم فقط درباره تنشهای برشی در روی سطوح موازی با محور z مانند صفحه pq صادق است.

شکل 5-5 a در واقع یک عنصر سه بعدی است که تنش σ_z در جهت z برابر صفر می باشد. صفحه های مایل را می توان موازی محور x یا y از میان عنصر عبور داد، و تنش برشی در روی یکی از این صفحه ها ممکن است از تنشهای معادله 5-16 می دهد بیشتر باشد. تعیین تنش برشی ماکزیمم در حالت سه بعدی بعداً در بخش تنشهای سه محوری بحث خواهد شد.



شکل ۵-۶

در روی اضلاع عنصر شکل ۵-۶ b کافی است در معادلات 5-11 و 5-13 بجای θ مقدار 45° را قرار دهیم که حاصل می شود $\sigma_\theta = \sigma'_\theta = 0$. بدین ترتیب مشاهده می کنیم که عنصر شکل ۵-۶ b تنها تحت اثر تنشهای برشی قرار دارد و بنابراین در حالت برش خالص می باشد. همچنین مشاهده می کنیم که برش خالص معادل با حالت تنش ایجاد شده بوسیله تنش کششی در یک جهت و تنش فشاری هم اندازه آن در جهت عمود بر آن می باشد. البته واضح است اگر ما عنصری را در نظر بگیریم که به اندازه زاویه θ متفاوت با 45° دوران کرده باشد، روی سطوح عنصر مزبور هم تنش عمودی و هم تنش برشی وجود خواهد داشت که از معادلات 5-11 تا 5-14 بدست می آیند.

تغییر شکل عنصری که در برش خالص قرار دارد در شکل ۵-۶ c رسم شده است. در طول اضلاع عنصر مزبور تغییرمی حاصل نمی شود زیرا در امتدادهای 45° تنش های عمودی وجود ندارد، ولی قطر افقی آن از دیاد طول و قطر قائم آن کاهش طول پیدا خواهد کرد. کرنش برشی γ که برابر با τ_{max}/G می باشد در شکل ۵-۶ c به صورت کاهش زوایای قائمه در دو انتهای قطر افقی، یا افزایش زوایای قائمه در دو انتهای قطر قائم ظاهر می گردد. زاویه بین وضعیت اولیه و نهایی هر یک از اضلاع عنصر مزبور برابر $\gamma/2$ می باشد.

تغییرات طول قطرهای عنصر شکل ۵-۶ c بوسیله کرنشهای ϵ_x و ϵ_y که از معادلات 5-17 و 5-18 بدست می آیند تعیین می شود. در عین حال از شکل ۵-۶ c مشاهده می شود که این تغییرات طول بطور هندسی با کرنش برشی γ ارتباط دارند. بنابراین می توان نتیجه گرفت که ضریب ارتجاعی در برش G به وسیله ضریب پواسون با ضریب ارتجاعی E (در کشش و فشار) ارتباط دارد.

برای پیدا کردن رابطه بین E و G ابتدا با استفاده از روابط 5-17، 5-18

$$\frac{(1 + \epsilon_x)(1 + \epsilon_y)(1 + \epsilon_z)}{1}$$

افزایش می یابد. اگر از مقادیر کوچک مرتبه دوم و سوم کرنشها صرف نظر شود کمیت مزبور برابر می شود با

$$1 + \epsilon_x + \epsilon_y + \epsilon_z$$

بنابراین تغییر حجم واحد حجم از رابطه زیر بدست می آید:

$$\frac{\Delta V}{V} = \epsilon_x + \epsilon_y + \epsilon_z \quad (5-21)$$

اگر به جای کرنشها از معادلات 5-17 تا 5-19 در معادله 5-21 قرار دهیم، رابطه تغییر حجم واحد حجم در تنش دو محوری به صورت زیر در می آید:

$$\frac{\Delta V}{V} = \frac{(\sigma_x + \sigma_y)(1 - 2\nu)}{E} \quad (5-22)$$

اگر $\sigma_y = 0$ باشد این معادله به معادله 1-14 برای تغییر حجم واحد حجم در حالت تنش یک محوری تبدیل می شود.

۵-۴ برش خالص

حال حالت خاصی از تنش دو محوری را در نظر می گیریم که در آن σ_x تنش کششی و σ_y تنش فشاری با همان مقدار σ_x باشد بطوریکه (شکل ۵-۶ a) $\sigma_x = -\sigma_y = \sigma_0$ $(5-23)$ ماکزیمم تنش برشی در روی صفحه مابلی که برای آن $\theta = 45^\circ$ می باشد اتفاق می افتد و مقدار آن با استفاده از معادله 5-16 برابر است با

$$\tau_{max} = \frac{\sigma_x - \sigma_y}{2} = \sigma_0 \quad (5-24)$$

این تنش برشی در شکل ۵-۶ b رسم شده است. برای پیدا کردن تنشهای عمودی

این رابطه نشان می‌دهد که E ، G و ν خصوصیات مستقل مصالح نمی‌باشند. برای مثال برای فولاد اگر $\nu = 0.3$ و $E = 2.1 \times 10^6 \text{ Kg/cm}^2$ فرض شود، از معادله 5-25 حاصل می‌شود:

$$G = 810000 \text{ Kg/cm}^2$$

۵-۵ دایره موهر برای تنش دو محوری

معادلات تنش‌های σ_θ و τ_θ را که در روی صفحه‌های مایل در حالت تنش دو محوری اثر می‌کنند می‌توان به صورت ترسیمی نشان داد. برای این کار ابتدا مانام گذاری زیر را انتخاب می‌کنیم:

$$\sigma_{av} = \frac{\sigma_x + \sigma_y}{2} \quad (5-26)$$

$$\tau_{max} = \frac{\sigma_x - \sigma_y}{2} \quad (5-27)$$

در این عبارات σ_{av} مقدار متوسط تنش‌های عمودی در روی اضلاع عنصر مورد نظر و τ_{max} تنش برشی ماکزیمم می‌باشد. با نام گذاری فوق می‌توانیم معادلات 5-11 و 5-12 را به صورت زیر بنویسیم:

$$\sigma_\theta - \sigma_{av} = \tau_{max} \cos 2\theta$$

$$\tau_\theta = \tau_{max} \sin 2\theta$$

دو معادله فوق معادلات پارامتری یک دایره با پارامتر 2θ می‌باشند. با مربع کردن طرفین دو معادله فوق و جمع کردن آنها با یکدیگر می‌توان پارامتر مزبور را حذف نمود.

$$(\sigma_\theta - \sigma_{av})^2 + \tau_\theta^2 = \tau_{max}^2 \quad (5-28)$$

معادله فوق معادله دایره‌ای با متغیرهای مستقل σ_θ و τ_θ و شعاع τ_{max} می‌باشد. این دایره در شکل ۵-۷ با فرض اینکه محور طول‌ها σ_θ و محور عرض‌ها τ_θ باشد رسم شده است. مرکز C دایره مزبور دارای مختصات $\sigma_\theta = \sigma_{av}$ و $\tau_\theta = 0$ می‌باشد. این روش ترسیمی برای اولین بار در سال ۱۸۸۲ توسط مهندس آلمانی اتو موهر^۱ پیشنهاد

و 5-24 طول‌های oa' و oc' را حساب می‌کنیم.

$$oa' = oa (1 + \epsilon_x) = oa \left[1 + \frac{\tau_{max}}{E} (1 + \nu) \right]$$

$$oc' = oc (1 + \epsilon_y) = oc \left[1 - \frac{\tau_{max}}{E} (1 + \nu) \right]$$

با توجه به مثلث قائم الزاویه coa' می‌توانیم بنویسیم

$$\tan \hat{oa'c'} = \tan \left(\frac{\pi}{4} - \frac{\gamma}{2} \right) = \frac{oc'}{oa'} = \frac{1 - \frac{\tau_{max}}{E} (1 + \nu)}{1 + \frac{\tau_{max}}{E} (1 + \nu)}$$

اگر رابطه فوق را با رابطه مثلثاتی زیر

$$\tan \left(\frac{\pi}{4} - \frac{\gamma}{2} \right) = \frac{\tan \frac{\pi}{4} - \tan \frac{\gamma}{2}}{1 + \tan \frac{\pi}{4} \tan \frac{\gamma}{2}} \approx \frac{1 - \frac{\gamma}{2}}{1 + \frac{\gamma}{2}}$$

که در آن به علت کوچک بودن زاویه γ از تساوی $\tan \frac{\gamma}{2} \approx \frac{\gamma}{2}$ استفاده شده است مقایسه کنیم نتیجه می‌گیریم که

$$\frac{\gamma}{2} = \frac{\tau_{max}}{E} (1 + \nu)$$

حال اگر در این رابطه به جای γ مقدار مساوی آن G / τ_{max} را قرار دهیم رابطه بین G و E به صورت زیر بدست می‌آید:

$$G = \frac{E}{2(1 + \nu)} \quad (5-25)$$

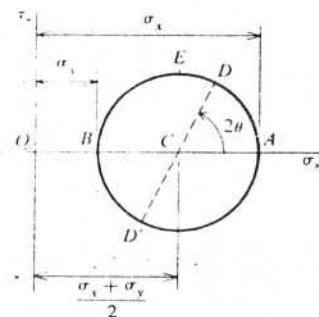
σ_θ و τ_θ را می‌دهد. برای مثال اگر $\theta = \pi/4$ باشد در این صورت $2\theta = \pi/2$ و نقطه D در بالای دایره (نقطه E) قرار خواهد گرفت که برای آن

$$\sigma_\theta = \frac{\sigma_x + \sigma_y}{2} ; \quad \tau_\theta = \frac{\sigma_x - \sigma_y}{2}$$

بنابراین نقطه E معرف صفحه‌ای می‌باشد که در آن تنش برشی ماکزیمم است، و این نتیجه ایست که از دایره موهر (شکل ۷-۵) مستقیماً به دست می‌آید زیرا شعاع دایره برابر τ_{max} است.

اگر زاویه θ بیشتر از $\pi/2$ اختیار شود نقطه نظیر آن در روی دایره موهر در روی نیمه تحتانی دایره قرار خواهد گرفت. برای مثال نقطه D' که به طور قطری مخالف نقطه D و بنابراین با زاویه $2\theta + \pi$ مشخص می‌باشد معرف تنش‌ها در روی صفحه ایست که با صفحه تنش‌های σ_θ و τ_θ زاویه قائمه می‌سازد. بررسی شکل ۷-۵ نشان می‌دهد که مختصات نقطه D' برابر با σ_θ و τ_θ می‌باشد که بوسیله معادلات 13-5 و 14-5 داده شده است. بنابراین با تغییر زاویه 2θ در روی دایره موهر از 0° تا 360° ، تنش‌ها در روی تمام اضلاع عنصر شکل ۷-۵c از 0° تا 180° و بدست می‌آید. البته تنش‌ها در روی اضلاع باقی مانده (θ از 180° تا 360°) برابر با تنش‌ها در روی اضلاع مخالف می‌باشد.

روش معمول برای رسم دایره موهر مشخص کردن نقاط A و B در روی محور σ_θ با مقیاسی معین و سپس رسم دایره‌ای به قطر AB می‌باشد. تنش‌ها در روی هر صفحه مایلی که با زاویه θ مشخص شده باشد با اندازه‌گیری زاویه 2θ در روی دایره و تعیین نقطه D بدست می‌آید. تنش‌های مطلوب σ_θ و τ_θ یا مستقیماً با اندازه‌گیری مختصات نقطه D و یا با استفاده از محاسبات مثلثاتی تعیین می‌شوند. اگر یکی از دو تنش σ_x و σ_y و یا هر دو آنها فشاری باشد همان روش مذکور در فوق را می‌توان بکار برد با این تفاوت که قسمتی از دایره و یا تمام آن ممکن است در سمت چپ مبدأ مختصات قرار بگیرد. همچنین باید به خاطر داشت که زاویه 2θ همواره از نقطه A که معرف تنش‌های صفحه x می‌باشد در جهت مخالف جهت عقربه‌های ساعت اندازه‌گیری می‌شود، حتی اگر نقطه A در انتهای چپ قطر افقی دایره قرار بگیرد (این در صورتی اتفاق می‌افتد که σ_x بطور جبری از σ_y کوچکتر باشد. مثال ۱-۵ را ببینید).
دایره موهر را به صورت معکوس نیز می‌توان بکار برد؛ یعنی اگر تنش‌های σ_θ ، τ_θ ، σ_θ و τ_θ در روی یک عنصر دوران کرده در تنش دو محوری معلوم باشند



شکل ۷-۵ دایره موهر برای تنش دو محوری

شد و از این رو دایره مزبور به نام دایره موهر معروف است.

نقطه A دایره موهر در شکل ۷-۵ که دارای مختصات

$$\sigma_\theta = \sigma_{av} + \tau_{max} = \sigma_x ; \quad \tau_\theta = 0$$

می‌باشد معرف تنش‌ها در روی وجه x (وجهی که بر محور x عمود است) عنصر مورد مطالعه می‌باشد ($\theta = 0$). همین طور نقطه B دایره که مختصات $\sigma_\theta = \sigma_y$ و $\tau_\theta = 0$ دارد معرف تنش‌ها در وجه y عنصر مورد نظر می‌باشد ($\theta = 90^\circ$). حال بیاییم یک نقطه اختیاری D روی دایره را که با زاویه 2θ در شکل ۷-۵ مشخص شده است در نظر بگیریم. زاویه 2θ از نقطه A که برای آن $\theta = 0$ می‌باشد اندازه‌گیری می‌شود. مختصات σ_θ و τ_θ نقطه D را می‌توان از هندسه دایره به صورت زیر بدست آورد:

$$\sigma_\theta = OC + CD \cos 2\theta = \frac{1}{2} (\sigma_x + \sigma_y) + \frac{1}{2} (\sigma_x - \sigma_y) \cos 2\theta$$

$$\tau_\theta = CD \sin 2\theta = \frac{1}{2} (\sigma_x - \sigma_y) \sin 2\theta$$

با مقایسه این روابط با معادلات 11-5 و 12-5 نتیجه می‌شود که مختصات نقطه D معرف تنش‌های σ_θ و τ_θ در روی صفحه مایلی است که در شکل ۷-۵ با زاویه θ تعریف شده است. توجه کنید برای تعیین محل نقطه D در روی دایره موهر زاویه 2θ به کار رفته است. همچنانکه زاویه θ از 0 تا $\pi/2$ تغییر می‌کند نقطه D در روی دایره از A تا B تغییر مکان می‌دهد، بطوریکه نیمه فوقانی دایره برای وضعیت‌های مختلف عنصر مورد نظر (شکل ۷-۵c) از $\theta = 0$ تا $\theta = \pi/2$ تنش‌های

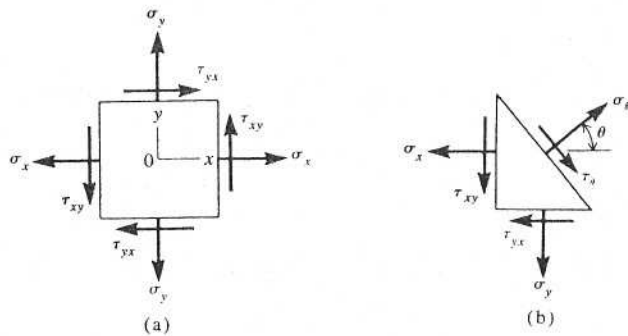
نقطه D' تنش‌ها را در صفحه‌ای می‌دهد که برای آن $2\theta = 110^\circ$ یا $\theta = 55^\circ$ میباشد. تنش‌های نقطه D' عبارتند از

$$\sigma_{\theta} = 149.1 \text{ Kg/cm}^2 \quad ; \quad \tau_{\theta} = 359.8 \text{ Kg/cm}^2$$

این تنش‌ها نیز در روی شکل $c-8-5$ نشان داده شده‌اند.

۵-۶ تنش مسطح

تنش‌های یک محوری و دو محوری حالت‌های خاصی از حالت کلی تر تنش موسوم به تنش مسطح می‌باشد. عنصر کوچکی در تنش مسطح مطابق شکل $a-9-5$ می‌تواند در روی وجه‌های x و y تنش‌های عمودی و برشی داشته باشد ولی در روی وجه z آن تنش وجود ندارد. تنش برشی در روی وجه x عنصر کوچک مزبور با τ_{xy} نشان داده می‌شود که در آن زیر نویس اول معرف سطحی است که تنش بر آن اثر می‌کند و زیر نویس دوم معرف راستای تنش برشی می‌باشد. موقعی که از این اسم گذاری برای مشخص کردن تنش‌های برشی استفاده می‌شود معمولاً "تنش برشی وقتی مثبت فرض می‌شود که جهت آن در جهت مثبت محور y باشد. بدین ترتیب τ_{xy} در جهت مثبت در روی شکل مثبت می‌باشد. همین طور تنش برشی در وجه فوقانی عنصر کوچک با τ_{yx} نشان داده می‌شود و این تنش معرف آن است که تنش برشی در روی وجه y عنصر کوچک در

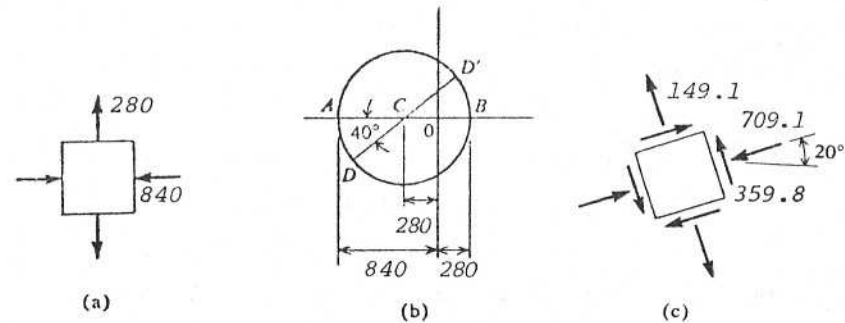


شکل ۹-۵

(شکل $c-8-5$)، با استفاده از دایره موهر می‌توان تنش‌های σ_x و σ_y را بدست آورد. برای اینکار ابتدا با دانستن مقادیر معلوم تنش‌ها، محل نقاط D و D' مشخص می‌شود. سپس با رسم دایره‌ای به قطر DD' دایره موهر بدست می‌آید. محل برخورد دایره با محور σ_{θ} نقاط A و B را می‌دهد. بدین ترتیب نه تنها تنش‌های σ_x و σ_y بلکه زاویه دوران θ عنصر مورد نظر نیز تعیین می‌شود.

مثال ۱-۵

دایره موهر را برای حالت تنش دو محوری شکل $a-8-5$ که در آن $\sigma_x = -840 \text{ Kg/cm}^2$ و $\sigma_y = 280 \text{ Kg/cm}^2$ می‌باشد رسم کنید. تنش‌های σ_{θ} ، τ_{θ} را در روی اضلاع عنصری که برای آن $\theta = 20^\circ$ می‌باشد تعیین کنید.



شکل ۸-۵

حل: ابتدا محل نقاط A و B را که به ترتیب معرف تنش‌ها در روی صفحه‌های $\theta = 0^\circ$ و $\theta = 90^\circ$ می‌باشند مطابق شکل $b-8-5$ تعیین می‌کنیم. مرکز دایره در $\sigma_{av} = -280 \text{ Kg/cm}^2$ و شعاع دایره برابر 560 Kg/cm^2 می‌باشد. نقطه D با اندازه گیری زاویه $2\theta = 40^\circ$ از نقطه A در جهت مخالف جهت عقربه‌های ساعت بدست می‌آید. از روی دایره موهر (شکل $b-8-5$) مختصات نقطه با مقیاس یا محاسبه بدست می‌آید.

$$\sigma_{\theta} = -709.1 \text{ Kg/cm}^2 \quad ; \quad \tau_{\theta} = -359.8 \text{ Kg/cm}^2$$

این تنش‌ها در روی عنصر دوران پیدا کرده در شکل $c-8-5$ نشان داده شده است.

برشی مثبت x اثر می‌کند و مقدار آن مثبت است. این قرار داد علامت برای تنش‌های برشی τ_{xy} و τ_{yx} غالباً "در تئوری ارتجاعی بکار می‌رود و از این جهت در این کتاب انتخاب شده است.

اما ما در بحث‌های قبلی قرار داد دیگری برای علامت تنش برشی τ_θ بکار بردیم که بر اساس اینکه تنش برشی در جهت عقربه‌های ساعت و یا مخالف جهت عقربه‌های ساعت نسبت به سطح اثر کند قرار داشت. ما در مطالعه تنش مسطح برای τ_θ همان قرار داد علامت را بکار خواهیم برد. در این صورت در روی سطح $\theta = 0$ (وجه x عنصر کوچک) داریم: $\tau_\theta = -\tau_{xy}$ و در روی سطح $\theta = 90^\circ$ داریم: $\tau_\theta = \tau_{yx}$. همچنین از تساوی تنش‌های برشی در روی دو سطح عمود بر هم واضح است که

در هنگام استفاده از معادلات 5-30 و 5-31 به قرار دادهای علامت تنش‌ها باید به دقت توجه شود:

- الف - تنش‌های عمودی وقتی مثبت هستند که کششی باشند،
- ب - تنش برشی τ_{xy} وقتی مثبت است که در جهت مثبت محور y باشد،
- پ - تنش برشی τ_θ وقتی مثبت است که در جهت عقربه‌های ساعت در روی سطح ماده اثر کند.

علت انتخاب قرار داد علامت فوق برای τ_θ این است که زاویه 2θ در دایره موهر در جهت مخالف جهت عقربه‌های ساعت که همان جهت مثبت اندازه‌گیری θ است اندازه‌گیری شود.

تنش‌ها در روی سطحی که زاویه $\theta + \pi/2$ با محور x می‌سازند (σ_θ و τ_θ) از معادلات 5-30 و 5-31 با جایگزینی $\theta + \pi/2$ به جای θ بدست می‌آیند. اگر این عمل انجام شود، پیدا خواهیم کرد

$$\sigma_\theta + \sigma_{\theta'} = \sigma_x + \sigma_y \quad ; \quad \tau_\theta = -\tau_{\theta'}$$

بدین ترتیب مجدداً مشاهده می‌کنیم که مجموع تنش‌های عمودی در روی دو سطح عمود بر هم ثابت می‌باشد و تنش‌های برشی در روی دو سطح عمود بر هم دارای مقدار یکسان ولی جهت مخالف یکدیگر می‌باشند.

با تغییر زاویه θ در شکل ۵-۹ b از 0° تا 360° تنش‌های σ_θ و τ_θ نیز تغییر می‌کنند. ماکزیمم و مینیمم مقادیر σ_θ تنش‌های اصلی هستند و صفحاتی که این تنش‌ها بر آنها اثر می‌کنند با مساوی صفر قرار دادن $d\sigma_\theta / d\theta$ و سپس حل معادله حاصل برای θ بدست می‌آیند.

$$\frac{d\sigma_\theta}{d\theta} = -(\sigma_x - \sigma_y)\sin 2\theta + 2\tau_{xy}\cos 2\theta = 0$$

$$\tan 2\theta_p = \frac{2\tau_{xy}}{\sigma_x - \sigma_y} \quad (5-32)$$

حال مقطع مایلی را که عمود بر آن با محور x زاویه θ تشکیل می‌دهد در نظر می‌گیریم (شکل ۵-۹ b). از شرایط تعادل عنصر کوچک مثلثی می‌توان تنش عمودی σ_θ و تنش برشی τ_θ را که بر سطح مایل اثر می‌کند بدست آورد. در نوشتن معادلات تعادل باید توجه نمود که مساحت‌های وجه‌های عنصر مزبور یکسان نمی‌باشند و برای به دست آوردن نیروی وارد بر هر وجه باید تنش وارد بر وجه مزبور را در مساحت سطح آن ضرب نمود. این روش قبلاً در مورد معادلات 5-9 و 5-10 بکار رفت.

$$\tau_{xy} = \tau_{yx} \quad (5-29)$$

از تعادل نیروها در امتداد τ_θ معادله زیر حاصل می‌شود:

$$\sigma_\theta = \sigma_x \cos^2 \theta + \sigma_y \sin^2 \theta + 2\tau_{xy} \sin \theta \cos \theta$$

از تعادل نیروها در امتداد τ_θ معادله زیر حاصل می‌شود:

$$\tau_\theta = (\sigma_x - \sigma_y) \sin \theta \cos \theta + \tau_{xy} (\sin^2 \theta - \cos^2 \theta)$$

دو معادله فوق را می‌توان با استفاده از روابط مثلثاتی به صورت زیر نوشت:

$$\sigma_\theta = \frac{1}{2}(\sigma_x + \sigma_y) + \frac{1}{2}(\sigma_x - \sigma_y)\cos 2\theta + \tau_{xy}\sin 2\theta \quad (5-30)$$

$$\tau_\theta = \frac{1}{2}(\sigma_x - \sigma_y)\sin 2\theta - \tau_{xy}\cos 2\theta \quad (5-31)$$

معادلات فوق تنش‌های عمودی و برشی را در روی هر سطح مایلی بر حسب تنش‌های σ_x ، σ_y و τ_{xy} می‌دهند. توجه کنید وقتی $\theta = 0$ از معادلات فوق $\sigma_\theta = \sigma_x$ و

θ_s زاویه صفحه‌ایست که در آن تنش برشی ماکزیمم می‌باشد. از مقایسه معادله فوق با معادله 5-32 نتیجه می‌شود

$$\cot 2\theta_s = -\tan 2\theta_p$$

بنابراین نتیجه می‌گیریم که $2\theta_p$ و $2\theta_s$ به اندازه 90° با یکدیگر اختلاف دارند، یا صفحه‌های تنش برشی ماکزیمم با صفحه‌های اصلی زاویه 45° تشکیل می‌دهند (این نتیجه قبلاً در بخش ۲-۵ در حالت تنش دو محوری نیز مشاهده شده است). با جایگزینی $2\theta_s$ از معادله 5-34 در معادله 5-31 تنش برشی ماکزیمم به دست می‌آید.

$$\tau_{\max} = \sqrt{\left(\frac{\sigma_x - \sigma_y}{2}\right)^2 + \tau_{xy}^2} \quad (5-35)$$

رابطه فوق معادل است با

$$\tau_{\max} = \frac{\sigma_1 - \sigma_2}{2} \quad (5-36)$$

در روی صفحه‌های تنش برشی ماکزیمم تنش‌های عمودی برابرند با

$$\sigma_\theta = \sigma'_\theta = \frac{\sigma_x + \sigma_y}{2} \quad (5-37)$$

مثال ۲-۵

عنصری در تنش مسطح تحت تنش‌های $\sigma_x = 1120 \text{ Kg/cm}^2$ ، $\sigma_y = 420 \text{ Kg/cm}^2$ و $\tau_{xy} = 280 \text{ Kg/cm}^2$ مطابق شکل a-۱۰ قرار دارد. تعیین کنید:
الف - تنش‌ها و صفحه‌های اصلی، ب - تنش‌ها در روی عنصری که به اندازه 45° دوران کرده باشد و پ - تنش‌های برشی ماکزیمم. نتایج را روی شکل‌های عناصر دوران پیدا کرده نشان دهید.

حل: الف - برای پیدا کردن صفحه‌های اصلی از معادله 5-32 استفاده می‌کنیم که از آن $\tan 2\theta_p = 0.8$ و $109^\circ 20'$ و $19^\circ 20'$ بدست می‌آید. با استفاده از معادله 5-33 تنش‌های اصلی $\sigma_1 = 1218 \text{ Kg/cm}^2$ و $\sigma_2 = 322 \text{ Kg/cm}^2$

در این رابطه زوایای صفحه‌های اصلی را مشخص می‌کند. از معادله 5-32 دو مقدار برای $2\theta_p$ بدست می‌آید که با یکدیگر به اندازه 180° اختلاف دارند. اولین مقدار بین 0° و 180° و مقدار دیگر بین 180° و 360° قرار دارد. بدین ترتیب دو مقدار برای θ_p بدست می‌آید، مقدار اول بین 0° و 90° و مقدار دیگر بین 90° و 180° قرار دارد. تنش عمودی σ_θ به ازای یکی از مقادیر θ_p ماکزیمم و به ازای مقدار دیگر مینیمم می‌باشد. این دو تنش اصلی در دو صفحه عمود بر هم اثر می‌کنند. در هر حالت خاصی بعد از پیدا کردن مقادیر θ_p از معادله 5-32 میتوان آنها را در معادله 5-30 جایگزین نمود تا دو تنش اصلی بدست آیند. با انجام این عملیات بطور جبری می‌توان یک فرمول کلی برای تنش‌های اصلی بدست آورد. برای این کار از معادله 5-32 داریم

$$\cos 2\theta_p = \pm \frac{\sigma_x - \sigma_y}{s} ; \quad \sin 2\theta_p = \pm \frac{2\tau_{xy}}{s}$$

$$s = \sqrt{(\sigma_x - \sigma_y)^2 + 4\tau_{xy}^2} \quad \text{در این رابطه}$$

از جایگزینی مقادیر فوق در معادله 5-30 حاصل می‌شود

$$\sigma_{1,2} = \frac{\sigma_x + \sigma_y}{2} \pm \sqrt{\left(\frac{\sigma_x - \sigma_y}{2}\right)^2 + \tau_{xy}^2} \quad (5-33)$$

σ_1 و σ_2 به ترتیب معرف تنش‌های اصلی ماکزیمم و مینیمم به طور جبری می‌باشند. مشاهده می‌شود که رابطه $\sigma_1 + \sigma_2 = \sigma_x + \sigma_y$ برقرار است. اگر در معادله 5-31 تنش برشی τ_θ را مساوی صفر قرار دهیم و معادله را برای 2θ حل کنیم به همان نتیجه معادله 5-32 می‌رسیم. این نتیجه نشان می‌دهد که در صفحه‌های اصلی تنش برشی وجود ندارد. حال تنش‌های برشی ماکزیمم و صفحه‌هایی را که بر آنها اثر می‌کنند پیدا می‌کنیم. اگر مشتق معادله 5-31 را نسبت به θ مساوی صفر قرار دهیم خواهیم داشت

$$\cot 2\theta_s = -\frac{2\tau_{xy}}{\sigma_x - \sigma_y} \quad (5-34)$$

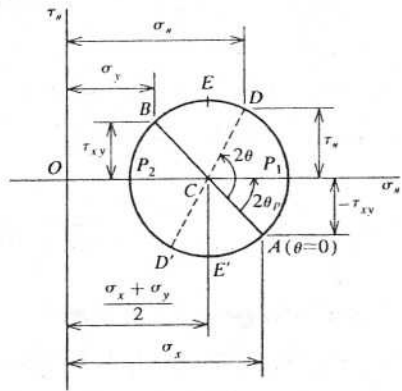
۷-۵ دایره موهر برای تنش مسطح

معادلات 5-30 و 5-31 برای حالت کلی تنش مسطح را می توان بوسیله دایره موهر نشان داد. این معادلات را می توان مشابه آنچه که در بخش ۵-۵ بحث شد با یکدیگر ترکیب نمود تا معادله

$$(\sigma_{\theta} - \sigma_{av})^2 + \tau_{\theta}^2 = \left(\frac{\sigma_x - \sigma_y}{2}\right)^2 + \tau_{xy}^2 \quad (5-38)$$

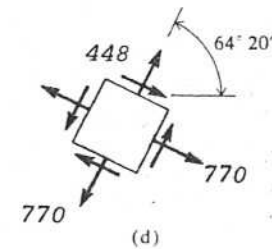
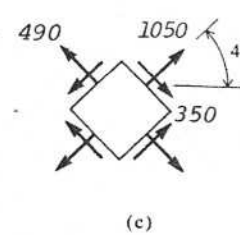
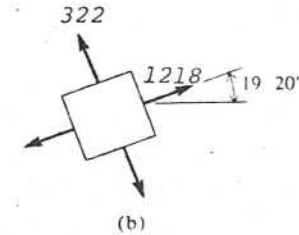
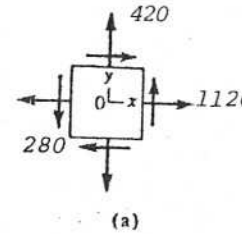
بدست آید که در آن $\sigma_{av} = \frac{1}{2}(\sigma_x + \sigma_y)$ معادله 5-38 معادله دایره ایست که مرکز آن در $\sigma_{\theta} = \sigma_{av}$ و $\tau_{\theta} = 0$ قرار دارد و شعاع آن برابر با جذر قسمت راست معادله فوق می باشد. توجه کنید اگر $\tau_{xy} = 0$ باشد معادله 5-38 به حالت خاص معادله 5-28 تبدیل می گردد.

نحوه رسم دایره موهر در شکل ۱۱-۵ نشان داده شده است. ابتدا محل



شکل ۱۱-۵ دایره موهر برای تنش مسطح

نقطه C با مختصات $\sigma_{\theta} = \sigma_{av}$ و $\tau_{\theta} = 0$ مشخص می شود. سپس محل نقطه A که معرف شرایط تنش در صفحه x عنصر می باشد و مختصات آن $\sigma_{\theta} = \sigma_x$ و $\tau_{\theta} = -\tau_{xy}$ (به قرار دادهای علامت برای τ_{θ} و τ_{xy} در شکل ۹-۵ رجوع کنید) است در روی صفحه مختصات مشخص می گردد. بعد از آن محل نقطه B که معرف صفحه y عنصر با $\sigma_{\theta} = \sigma_y$ و $\tau_{\theta} = \tau_{xy}$ است تعیین می گردد. نقاط A و B معرف تنش در روی صفحه هایی هستند که بر یکدیگر عمود می باشند، بنابراین در روی

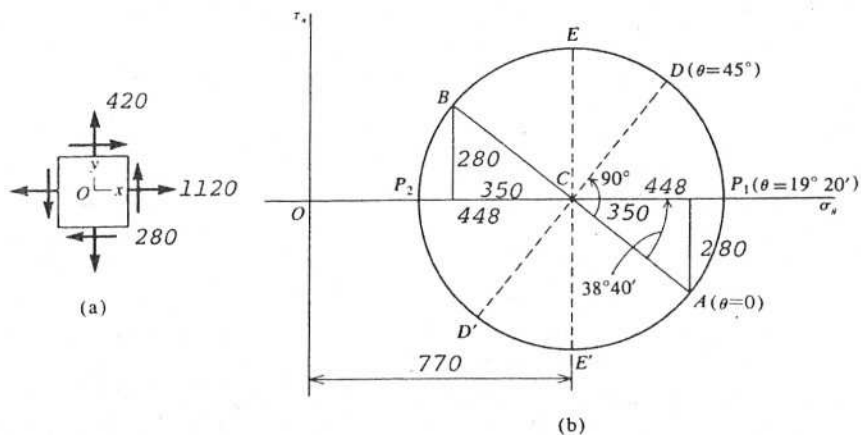


شکل ۱۰-۵

بدست می آید. این نتایج در شکل ۱۰-۵ b نشان داده شده است.

ب- تنشها در روی عنصری که به اندازه 45° دوران کرده باشد از معادلات 5-30 و 5-31 بدست می آیند. اگر در این معادلات $\theta = 45^\circ$ قرار دهیم $\sigma_{\theta} = 1050 \text{ Kg/cm}^2$ و $\tau_{\theta} = 350 \text{ Kg/cm}^2$ و اگر در آنها $\theta = 135^\circ$ قرار دهیم $\sigma_{\theta} = 490 \text{ Kg/cm}^2$ و $\tau_{\theta} = -350 \text{ Kg/cm}^2$ بدست می آیند. این نتایج در شکل ۱۰-۵ c نشان داده شده است.

پ- زاویه صفحه تنش برشی ماکزیمم از معادله 5-34 به دست می آید: $\cot 2\theta_s = -0.8$ و $2\theta_s = 154^\circ 20'$ و $2\theta_s = 128^\circ 40'$ با بکار بردن $\theta_s = 64^\circ 20'$ در معادلات 5-30 و 5-31، $\sigma_{\theta} = 770 \text{ Kg/cm}^2$ و $\tau_{\theta} = 448 \text{ Kg/cm}^2$ و با بکار بردن $2\theta = 308^\circ 40'$ ، $\sigma_{\theta} = 770 \text{ Kg/cm}^2$ و $\tau_{\theta} = -448 \text{ Kg/cm}^2$ بدست می آیند. این نتایج در شکل ۱۰-۵ d نشان داده شده است.



شکل ۱۲ - ۵

و شعاع $CA = 448 \text{ Kg/cm}^2$ رسم می‌گردد. نقطه B که در انتهای دیگر قطر AB قرار دارد به مختصات $\sigma_\theta = 1120 \text{ Kg/cm}^2$ و $\tau_\theta = 280 \text{ Kg/cm}^2$ می‌باشد. الف - بر اساس دایره موهر تنش اصلی σ_1 برابر با $770 + 448 = 1218 \text{ Kg/cm}^2$ می‌باشد و صفحه اصلی مربوطه زاویه $2\theta_p$ برابر $38^\circ 40'$ دارد. بنابراین زاویه بین محور x و صفحه اصلی $19^\circ 20'$ می‌باشد. تنش اصلی دیگر (نظیر نقطه P_2) برابر با $\sigma_2 = 770 - 448 = 322 \text{ Kg/cm}^2$ است که در روی صفحه با $\theta = 19^\circ 20' + 90^\circ = 109^\circ 20'$ در روی صفحه اثر می‌کند.

ب - تنشها در روی صفحه‌ای که به اندازه 45° دوران کرده است در روی دایره موهر بوسیله نقطه D با $2\theta = 90^\circ$ مشخص می‌شود. زاویه بین خط CD و محور σ_θ برابر $51^\circ 20' = 90^\circ - 38^\circ 40'$ می‌باشد. از مختصات نقطه D تنشهای $\sigma_\theta = 1050 \text{ Kg/cm}^2$ و $\tau_\theta = 350 \text{ Kg/cm}^2$ بدست می‌آید. تنشها در نقطه D' نیز $\sigma_\theta = 490 \text{ Kg/cm}^2$ و $\tau_\theta = -350 \text{ Kg/cm}^2$ می‌باشند. این نتایج را می‌توان در روی عنصری مانند شکل c ۵-۱۰ رسم نمود.

پ - تنشهای برشی ماکزیمم و صفحه‌های مربوطه بوسیله نقاط E و E' تعیین می‌شوند. خواننده به سهولت می‌تواند ثابت کند که تنشها در این نقاط با نتایج شکل d ۵-۱۰ منطبق می‌باشند.

دایره موهر باید به اندازه 180° از یکدیگر فاصله داشته باشند. بدین ترتیب دایره‌ای که به مرکز C و قطر AB رسم شود همان دایره موهر است. برای پیدا کردن تنشهای σ_θ و τ_θ در روی صفحه‌ای با زاویه θ کافی است در روی دایره موهر از نقطه A به اندازه 2θ در جهت خلاف جهت عقربه‌های ساعت جدا کنیم تا به نقطه D برسیم. مختصات نقطه D همان تنشهای مطلوب می‌باشد. اثبات اینکه مختصات نقطه D به وسیله معادلات 5-30 و 5-31 داده می‌شود به عنوان تمرینی به عهده خواننده واگذار می‌شود.

نقطه D' که با نقطه D در روی یک قطر قرار دارد معرف صفحه‌ای می‌باشد که با صفحه مربوط به نقطه D زاویه 90° می‌سازد. نقطه E در بالاترین نقطه دایره معرف تنشهای صفحه تنش برشی مثبت ماکزیمم و نقطه E' در پایین ترین نقطه دایره معرف تنشهای صفحه تنش برشی منفی ماکزیمم می‌باشد. در روی این صفحه‌ها تنشهای عمودی برابر با تنش متوسط (معادله 5-37) می‌باشند.

یکی از استفاده‌های مهم دایره موهر تعیین کردن تنشهای اصلی می‌باشد. این تنشها که تنشهای عمودی ماکزیمم و مینیمم می‌باشند با نقاط P_1 و P_2 در روی دایره موهر (شکل ۵-۱۱) مشخص می‌شوند. نقطه P_1 نظیر صفحه اصلی با تنش عمودی ماکزیمم σ_1 و نقطه P_2 نظیر صفحه اصلی با تنش عمودی مینیمم می‌باشد. زاویه $2\theta_p$ اولین صفحه اصلی در روی شکل ۵-۱۱ مشخص شده است. تمام روابطی که در بخش قبل بدست آمد به سهولت بوسیله دایره موهر قابل استنتاج می‌باشد.

مثال ۳ - ۵

عنصری در تنش مسطح مطابق شکل a ۵-۱۲ تحت تنشهای $\sigma_x = 1120 \text{ Kg/cm}^2$ و $\sigma_y = 420 \text{ Kg/cm}^2$ و $\tau_{xy} = 280 \text{ Kg/cm}^2$ قرار دارد. با استفاده از دایره موهر تعیین کنید: الف - تنشها و صفحه‌های اصلی، ب - تنشها در روی صفحه‌ای که به اندازه 45° دوران کرده است و پ - تنشهای برشی ماکزیمم (توجه کنید این مثال قبلا" در مثال ۲-۵ حل گردیده است).

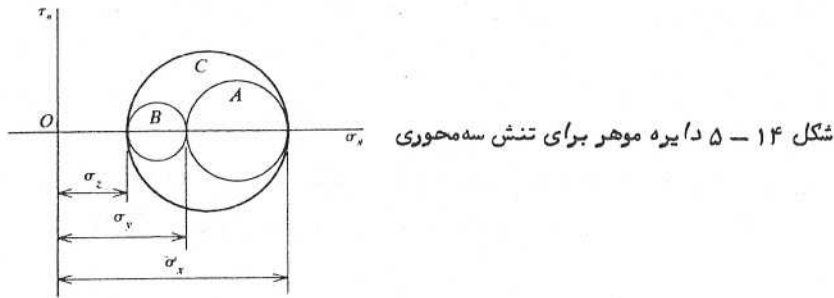
حل: مرکز C دایره در روی محور σ_θ قرار دارد که برای آن $\sigma_\theta = 770 \text{ Kg/cm}^2$. محل نقطه A به مختصات $\sigma_\theta = 1120 \text{ Kg/cm}^2$ و $\tau_\theta = -280 \text{ Kg/cm}^2$ در روی صفحه مشخص می‌شود. سپس دایره‌ای به مرکز C

همین طور تنش‌های برشی ماکزیمم در روی صفحه‌های موازی محورهای x و y عبارتند از

$$(\tau_{\max})_x = \frac{\sigma_y - \sigma_z}{2} \quad ; \quad (\tau_{\max})_y = \frac{\sigma_x - \sigma_z}{2} \quad (5-40)$$

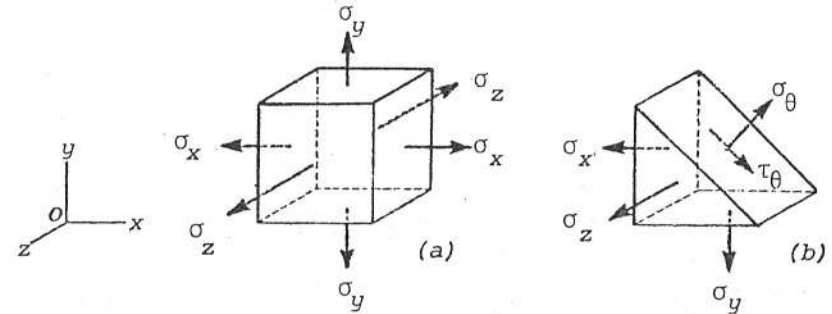
بسته به مقادیر نسبی σ_x ، σ_y و σ_z یکی از مقادیر فوق بطور عددی بیشترین تنش برشی در عنصر می‌باشد.

همین نتایج را می‌توان به کمک دایره موهر به سهولت مجسم کرد. برای صفحه‌های موازی محور z دایره موهر دایره A در شکل ۱۴-۵ می‌باشد (با فرض اینکه σ_x و σ_y هر دو کششی و $\sigma_x > \sigma_y$ باشد). همین طور برای صفحه‌های موازی محورهای x و y به ترتیب دایره‌های B و C بدست می‌آیند. شعاع‌های سه دایره معرف تنش‌های برشی ماکزیمم می‌باشند که بوسیله معادلات 5-39 و 5-40 داده شده‌اند، و تنش برشی ماکزیمم مطلق برابر با شعاع بزرگترین دایره می‌باشد.



تنش‌های برشی و عمودی در روی صفحه‌هایی که به طور مورب و غیر موازی با محورهای x ، y و z بریده شده باشند با یک تحلیل سه بعدی پیچیده تری بدست می‌آید (مرجع 26). تنش‌های عمودی در روی این صفحه‌ها همواره مابین مقادیر جبری تنش‌های اصلی ماکزیمم و مینیمم قرار دارد، و تنش برشی در روی این صفحه‌ها همواره کمتر از مقدار عددی تنش برشی ماکزیمم که از معادلات 5-39 و 5-40 به دست می‌آید می‌باشد.

حالت تنش عنصر کوچکی از ماده که تحت اثر تنش‌های σ_x ، σ_y و σ_z در سه جهت عمود بر هم می‌باشد (شکل ۱۳ a-۵) موسوم به تنش سه محوری می‌باشد. اگر صفحه مایلی موازی محور z از میان عنصر عبور کند (شکل ۱۳ b-۵)، تنها

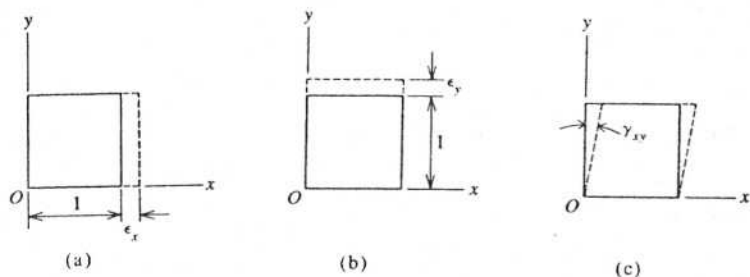


شکل ۱۳-۵

تنش‌هایی که در سطح مایل اثر می‌کنند تنش‌های σ_θ و τ_θ می‌باشند که قبلاً برای حالت تنش دو محوری بدست آمد. چون این تنش‌ها از نوشتن معادلات تعادل در صفحه xy بدست می‌آیند، آنها مستقل از تنش σ_z می‌باشند. بنابراین برای تعیین تنش‌های σ_θ و τ_θ می‌توانیم از معادلات حالت تنش دو محوری و همچنین دایره موهر استفاده کنیم. در مورد صفحه‌های مایلی که موازی x و y از میان عنصر بریده شود نیز همین نتایج کلی حاصل می‌شود.

با توجه به بحث‌های قبل مشاهده می‌شود که تنش‌های σ_x ، σ_y و σ_z تنش‌های اصلی عنصر مزبور می‌باشند. علاوه بر تنش‌های برشی ماکزیمم روی صفحه‌هایی خواهد بود که عنصر را تحت زاویه 45° موازی یکی از محورهای مختصات قطع کند (و این بستگی به مقدار تنش‌های σ_x ، σ_y و σ_z نسبت به یکدیگر دارد). برای مثال اگر فقط صفحه‌های موازی محور z را در نظر بگیریم (شکل ۱۳ b-۵)، تنش برشی ماکزیمم برابر است با (با استفاده از معادله 5-16)

$$(\tau_{\max})_z = \frac{\sigma_x - \sigma_y}{2} \quad (5-39)$$



شکل ۱۵-۵

(شکل ۱۵-۵ b) و کرنش برشی γ_{xy} (شکل ۱۵-۵ c).
 کرنش برشی γ_{xy} در یک عنصر به صورت کاهش زاویه قائمه گوشه سمت چپ تحتانی آن وقتی که عنصر مطابق شکل ۱۵-۵ c نسبت به محورهای x و y قرار گرفته تعریف می شود. این تعریف کرنش برشی مثبت با تعریف تنش برشی مثبت τ_{xy} در شکل a ۹-۵ سازگار می باشد.

حالت عنصری از ماده که فقط تحت اثر کرنشهای ϵ_x ، ϵ_y و γ_{xy} میباشد حالت کرنش مسطح خوانده می شود. چنین عنصری کرنش عمودی ϵ_z و کرنشهای برشی γ_{yz} و γ_{xz} (به ترتیب در صفحههای xz و yz) نخواهد داشت. بدین ترتیب حالت کلی کرنش مسطح بوسیله شرایط زیر تعریف می شود:

$$\epsilon_x \neq 0 \quad \epsilon_y \neq 0 \quad \gamma_{xy} \neq 0$$

$$\epsilon_z = \epsilon_{xz} = \epsilon_{yz} = 0$$

تعریف کرنش مسطح فوق مشابه تعریف تنش مسطح می باشد که در حالت کلی به صورت زیر بیان می شود:

$$\sigma_x \neq 0 \quad \sigma_y \neq 0 \quad \tau_{xy} \neq 0$$

$$\sigma_z = \tau_{xz} = \tau_{yz} = 0$$

از تشابه شرایط کرنش مسطح و تنش مسطح نباید نتیجه گرفت که کرنش مسطح و تنش مسطح در شرایط یکسان ایجاد می شوند. برای مثال ما می دانیم عنصری در تنش مسطح معمولاً

اگر ماده مورد نظر از قانون هوک پیروی کند کرنشها در جهت های x ، y و z برای حالت تنش سه محوری به همان طریق حالت تنش دو محوری بدست می آید.

$$\epsilon_x = \frac{\sigma_x}{E} - \frac{\nu}{E} (\sigma_y + \sigma_z) \quad (5-41)$$

$$\epsilon_y = \frac{\sigma_y}{E} - \frac{\nu}{E} (\sigma_x + \sigma_z) \quad (5-42)$$

$$\epsilon_z = \frac{\sigma_z}{E} - \frac{\nu}{E} (\sigma_x + \sigma_y) \quad (5-43)$$

تغییر حجم واحد حجم عنصر برابر است با (معادله 5-21)

$$\frac{\Delta V}{V} = \epsilon_x + \epsilon_y + \epsilon_z \quad (5-44)$$

اگر در معادله فوق به جای کرنشها از معادلات 5-41 تا 5-43 قرار دهیم خواهیم داشت

$$\frac{\Delta V}{V} = \frac{1-2\nu}{E} (\sigma_x + \sigma_y + \sigma_z) \quad (5-45)$$

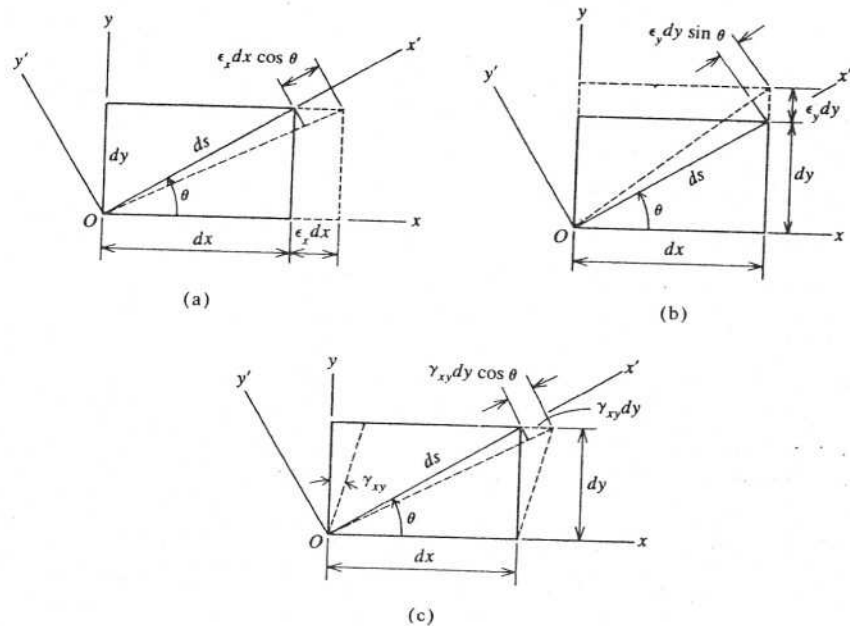
در حالت خاصی که عنصر مورد نظر تحت فشار هیدرواستاتیک یا فشار یکنواخت در همه جهات قرار دارد اگر فشار مبرور را p بنامیم می توانیم بنویسیم

$$\sigma_x = \sigma_y = \sigma_z = -p$$

$$\frac{\Delta V}{V} = \frac{-3p(1-2\nu)}{E} \quad (5-46)$$

۱۰-۵ کرنش مسطح

در تحقیقات تجربی رفتار مصالح و سازهها اندازه گیری کرنشها بوسیله کرنشسنجها کاملاً متداول است. از این رو پیدا کردن روابطی بین کرنشهای عمودی و برشی در امتدادهای مختلف مشابه روابطی که در بخش ۶-۵ برای تنش مسطح بدست آمد مورد توجه می باشد. در صفحه xy سه مؤلفه کرنش ممکن است وجود داشته باشد: کرنش عمودی ϵ_x در امتداد x (شکل ۱۵-۵ a)، کرنش عمودی ϵ_y در امتداد y



شکل ۱۷-۵

γ_{xy} کاهش خواهد یافت (شکل ۱۷-۵ c). هر یک از این سه تغییر شکل باعث می‌شود که طول قطر عنصر تغییر کند. اضافه طول های نظیر قطر عنصر مطابق شکل $\epsilon_x dx \cos \theta$ و $\epsilon_y dy \sin \theta$ و $\gamma_{xy} dy \cos \theta$ می‌باشد. بنابراین اضافه طول کل قطر مزبور مجموع سه کمیت فوق می‌باشد، و کرنش نظیر ϵ_θ در راستای x' با تقسیم کردن این مجموع بر طول ds قطر به دست می‌آید. با توجه به اینکه $dy/ds = \sin \theta$ و $dx/ds = \cos \theta$ نتیجه زیر حاصل می‌شود:

$$\epsilon_\theta = \epsilon_x \cos^2 \theta + \epsilon_y \sin^2 \theta + \gamma_{xy} \sin \theta \cos \theta \quad (5-47)$$

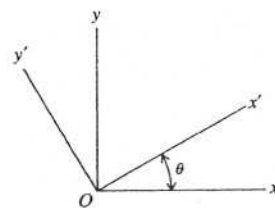
این معادله را به صورت زیر نیز می‌توان نوشت:

$$\epsilon_\theta = \frac{1}{2}(\epsilon_x + \epsilon_y) + \frac{1}{2}(\epsilon_x - \epsilon_y) \cos 2\theta + \frac{1}{2} \gamma_{xy} \sin 2\theta \quad (5-48)$$

بدین ترتیب معادلات 5-47 و 5-48 کرنش عمودی ϵ_θ را در راستای محور x'

در امتداد z کرنش دارد و این نشان می‌دهد که حالت تنش مسطح لزومی ندارد که حالت کرنش مسطح را ایجاد کند. همچنین بر عنصری در کرنش مسطح معمولاً "تنش σ_z " اثر می‌کند تا شرط $\epsilon_z = 0$ برقرار گردد، بنابراین مجدداً "نتیجه می‌شود که معمولاً" تنش مسطح و کرنش مسطح بطور همزمان اتفاق نمی‌افتند.

معادلات تبدیل تنش‌ها در بخش ۵-۶ ابتدا برای حالت تنش مسطح بدست آمدند. بعداً "در بخش ۵-۸ دیدیم که آنها را می‌توان برای عنصری در تنش سه محوری نیز بکار برد به شرط آنکه دوران عنصر حول یکی از محوره‌های مختصات صورت گرفته باشد. در مورد کرنش‌ها نیز همان روش فوق بکار خواهد رفت. معادلات تبدیل کرنش‌ها برای حالت کرنش مسطح بدست خواهد آمد، اما این معادلات برای حالت کرنش سه محوری نیز صادق هستند به شرط آنکه دوران به یک امتداد جدید حول یکی از محوره‌های مختصات صورت گیرد. در نتیجه معادلات تبدیل کرنش‌ها که در زیر بدست می‌آیند برای تعیین کرنش‌ها در حالت تنش مسطح نیز بکار می‌روند. همین طور معادلات تنش مسطح که در بخش ۵-۶ بدست آمد برای تعیین تنش‌ها در حالت کرنش مسطح نیز بکار می‌روند.



شکل ۱۶-۵

برای اینکه معادلات تبدیل کرنش‌ها را برای کرنش مسطح بدست آوریم، محورهای مختصات شکل ۱۶-۵ را در نظر می‌گیریم. فرض می‌شود که کرنش‌های عمودی ϵ_x و ϵ_y و کرنش برشی γ_{xy} مربوط به محورهای xy معلوم باشند. هدف ما تعیین کرنش‌های عمودی و برشی مربوط به محورهای $x'y'$ می‌باشد که نسبت به محورهای xy به اندازه θ دوران کرده‌اند. کرنش عمودی در امتداد x' با ϵ_θ و کرنش برشی مربوط به محورهای $x'y'$ با γ_θ نشان داده می‌شود. وقتی که $\theta = 0$ داریم $\epsilon_\theta = \epsilon_x$ و $\gamma_\theta = \gamma_{xy}$.

یک عنصر مستطیلی به اضلاع dx و dy که قطرش در امتداد محور x' می‌باشد در شکل ۱۷-۵ مشاهده می‌گردد. در اثر کرنش‌های ϵ_x ، ϵ_y و ϵ_z عنصر مزبور در امتداد x به اندازه $\epsilon_x dx$ (شکل ۱۷a-۵) و در امتداد y به اندازه $\epsilon_y dy$ (شکل ۱۷b-۵) اضافه طول پیدا خواهد کرد و زاویه xOy به اندازه

می دهند. اگر کرنش عمودی در راستای \bar{y} مطلوب باشد کافی است در معادلات فوق به جای θ مقدار $\theta + \pi/2$ را قرار دهیم.

برای یافتن معادله‌ای برای کرنش برشی γ_θ مجدداً "تغییر شکل‌های شکل ۱۷-۵ را در نظر می‌گیریم. از شکل ۱۷-۵ مشاهده می‌شود که در اثر کرنش ϵ_x محور \bar{x} به اندازه زاویه کوچک $\epsilon_x dx \sin\theta / ds$ در جهت عقربه‌های ساعت دوران کرده است. همین طور از شکل ۱۷-۵ نتیجه می‌شود که در اثر کرنش ϵ_y محور \bar{x} به اندازه زاویه $\epsilon_y dy \cos\theta / ds$ در جهت مخالف جهت عقربه‌های ساعت دوران نموده است. بالاخره از شکل ۱۷-۵ مشاهده می‌شود که در اثر کرنش برشی γ_{xy} محور \bar{x} به اندازه $\gamma_{xy} dy \sin\theta / ds$ در جهت عقربه‌های ساعت دوران کرده است. بدین ترتیب دوران محور \bar{x} در جهت عقربه‌های ساعت برابر است با

$$\alpha = \epsilon_x \sin\theta \cos\theta - \epsilon_y \sin\theta \cos\theta + \gamma_{xy} \sin^2\theta$$

اگر در رابطه فوق به جای θ کمیت $\theta + \pi/2$ را قرار دهیم. زاویه دوران محور \bar{y} در جهت عقربه‌های ساعت بدست می‌آید.

$$\beta = -\epsilon_x \sin\theta \cos\theta + \epsilon_y \sin\theta \cos\theta + \gamma_{xy} \cos^2\theta$$

کاهش زاویه $\bar{x}\bar{y}$ که همان کرنش برشی γ_θ است برابر $\beta - \alpha$ می‌باشد.

$$\gamma_\theta = -2\epsilon_x \sin\theta \cos\theta + 2\epsilon_y \sin\theta \cos\theta + \gamma_{xy} (\cos^2\theta - \sin^2\theta)$$

با پس از تقسیم نمودن طرفین رابطه فوق بر ۲ حاصل می‌شود

$$\frac{1}{2}\gamma_\theta = -(\epsilon_x - \epsilon_y) \sin\theta \cos\theta + \frac{1}{2}\gamma_{xy} (\cos^2\theta - \sin^2\theta) \quad (5-49)$$

این رابطه پس از استفاده از روابط مثلثاتی بصورت زیر در می‌آید:

$$\frac{1}{2}\gamma_\theta = -\frac{1}{2}(\epsilon_x - \epsilon_y) \sin 2\theta + \frac{1}{2}\gamma_{xy} \cos 2\theta \quad (5-50)$$

در دو حالت خاص $\theta = 0^\circ$ و $\theta = 90^\circ$ از معادلات فوق به ترتیب $\gamma_\theta = \gamma_{xy}$ و $\gamma_\theta = -\gamma_{xy}$ بدست می‌آید.

مقایسه معادلات ۵-۴۸ و ۵-۵۰ برای حالت کرنش مسطح با معادلات ۵-۳۰ و ۵-۳۱ برای حالت تنش مسطح نشان می‌دهد که عبارات ϵ_θ و γ_θ همان شکل

عبارات σ_θ و τ_θ را دارند. این شباهت به صورت نظیر بودن σ_θ و σ_y ، σ_x به ترتیب با ϵ_x ، ϵ_y و ϵ_θ و همچنین τ_{xy} با τ_θ و $\frac{1}{2}\gamma_{xy}$ با $\frac{1}{2}\gamma_\theta$ می‌باشد. وجود علامت منفی در جمله آخر به علت قرار داد علامتی است که برای تنش برشی τ_θ بکار رفت (شکل ۹-۵ را ببینید).

شباهت بین معادلات تنش مسطح و کرنش مسطح نشان می‌دهد که نظیر هر معادله تنش مسطح معادله‌ای نیز برای کرنش مسطح وجود دارد. برای مثال کرنش عمودی ϵ_θ و کرنش برشی γ_θ مربوط به یک جفت محوری که به اندازه $\theta + \pi/2$ دوران کرده است با جایگزینی $\theta + \pi/2$ بجای θ در معادلات ۵-۴۸ و ۵-۵۰ بدست می‌آیند، در این صورت داریم

$$\epsilon_\theta + \epsilon_{\theta'} = \epsilon_x + \epsilon_y ; \gamma_\theta = -\gamma_{\theta'} \quad (5-51)$$

این معادلات نشان می‌دهد که مجموع کرنش‌های عمودی در دو جهت عمود بر هم ثابت است و کرنش‌های برشی در امتداد‌های عمود بر هم دارای مقدار یکسان و علامت مخالف می‌باشد. این نتیجه کاملاً مشابه نتیجه‌ایست که در بخش ۶-۵ برای تنش مسطح بدست آمد.

همچنین در امتدادهایی که بوسیله معادله زیر مشخص می‌شود کرنش‌های اصلی وجود دارد (این معادله را با معادله ۵-۳۲ مقایسه کنید).

$$\tan 2\theta_p = \frac{\gamma_{xy}}{\epsilon_x - \epsilon_y} \quad (5-52)$$

کرنش‌های اصلی از معادله زیر محاسبه می‌شوند:

$$\epsilon_{1,2} = \frac{\epsilon_x + \epsilon_y}{2} \pm \sqrt{\left(\frac{\epsilon_x - \epsilon_y}{2}\right)^2 + \left(\frac{\gamma_{xy}}{2}\right)^2} \quad (5-53)$$

این معادله شبیه معادله ۵-۳۳ برای تنش‌ها می‌باشد. در روی صفحه‌های اصلی کرنش برشی وجود ندارد.

کرنش برشی ماکزیمم در روی صفحه‌هایی که با صفحه‌های اصلی زاویه 45° می‌سازند وجود دارد و مقدار آن از رابطه زیر بدست می‌آید:

$$\frac{1}{2}\gamma_{\max} = \sqrt{\left(\frac{\epsilon_x - \epsilon_y}{2}\right)^2 + \left(\frac{\gamma_{xy}}{2}\right)^2} \quad (5-54)$$

۲۵۱

یک میله فلزی در درجه حرارت 21°C دقیقاً در بین تکیه گاههای صلب قرار می‌گیرد (شکل a - ۱۹ - ۵). اگر درجه حرارت به 93°C افزایش یابد تنش‌های عمودی و برشی را در مقطع مایل pq حساب کنید. ضریب انبساط حرارتی فلز میله را $\alpha = 11.7 \times 10^{-6} \text{C}^{-1}$ و ضریب ارتجاعی آن را $E = 2.1 \times 10^6 \text{Kg/cm}^2$ فرض کنید.



شکل ۱۹ - ۵

حل: اگر میله آزاد بود به اندازه $\delta = \alpha L \Delta T$ ازدیاد طول پیدا می‌کرد (طول میله $L =$ و ازدیاد درجه حرارت ΔT). ولی چون از ازدیاد طول میله در دو انتهای آن بوسیله تکیه‌گاههای صلب جلوگیری می‌شود در آن تنش‌های فشاری σ_x ایجاد می‌گردد. اگر سطح مقطع میله برابر A باشد نیروی ایجاد شده در میله برابر است با

$$P = \frac{AE\delta}{L}$$

بنابراین تنش σ_x به صورت زیر حساب می‌شود:

$$\sigma_x = \frac{P}{A} = \frac{E\delta}{L} = \frac{E(\alpha L \Delta T)}{L} = E\alpha \Delta T$$

$$\sigma_x = -(2.1 \times 10^6) (11.7 \times 10^{-6}) (93-21) = -1769 \text{ Kg/cm}^2 \quad \text{فشاری}$$

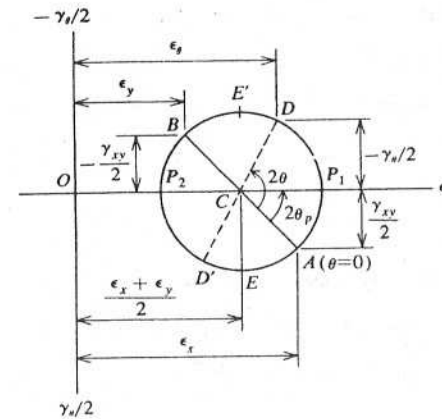
تنش‌های عمودی و برشی در مقطع مایل pq که عمود بر آن با امتداد افق زاویه $\theta = 30^{\circ}$ می‌سازد (شکل b - ۱۹ - ۵) از روابط زیر بدست می‌آید:

$$\sigma_{30} = \sigma_{\theta} = \sigma_x \cos^2 \theta = -1769 \cos^2 30 = -1326.75 \text{ Kg/cm}^2$$

$$\tau_{30} = \tau_{\theta} = \sigma_x \sin \theta \cos \theta = -1769 \sin 30 \cos 30 = -766 \text{ Kg/cm}^2$$

۲۵۰

کرنش عمودی در صفحه‌های کرنش برشی ماکزیمم برابر است با $(\epsilon_x + \epsilon_y)/2$. دایره موهر برای کرنش مسطح با همان ترتیب تنش مسطح ساخته می‌شود (شکل ۱۸ - ۵). کرنش عمودی ϵ_{θ} در روی محور افقی و نصف کرنش برشی در روی محور قائم به طرف پایین رسم می‌شود (شکل ۱۸ - ۵ را با شکل ۱۱ - ۵ مقایسه کنید).



شکل ۱۸ - ۵

مرکز C دایره طولی برابر $(\epsilon_x + \epsilon_y)/2$ دارد. نقطه A معرف کرنش‌های مربوط به امتداد x دارای مختصات ϵ_x و $\gamma_{xy}/2$ و نقطه B در انتهای دیگر قطری که از A عبور می‌کند دارای مختصات ϵ_y و $-\gamma_{xy}/2$ می‌باشد (نقطه B معرف کرنش‌های مربوط به یک جفت محورهایی است که به اندازه $\theta = 90^{\circ}$ دوران کرده‌است). کرنش‌های مربوط به محورهای دوران کرده دیگر بوسیله نقطه D داده می‌شود که برای تعیین محل آن از نقطه A به اندازه 2θ اندازه گرفته می‌شود. همچنین نقاط P_1 و P_2 معرف کرنش‌های اصلی و نقاط E و E' معرف کرنش‌های برشی ماکزیمم می‌باشند. تمام کمیت‌های مذکور را می‌توان به سهولت از روی دایره موهر پیدا نمود.

۵-۱۱ مسائل حل شده

یک صفحه فولادی دایره‌ای نازک به شعاع r و ضخامت t تحت تنش شعاعی σ_0 که به طور یکنواخت در محیط آن گسترده است قرار دارد. حالت تنش را در روی عنصری از صفحه مانند A بیابید (شکل ۵-۲۱). همچنین اگر ضریب ارتجاعی فولاد $E = 2 \times 10^6 \text{ Kg/cm}^2$ ، $\sigma_0 = 2000 \text{ Kg/cm}^2$ و ضریب پواسون $\nu = 0.25$ باشد تغییر حجم واحد حجم صفحه را پیدا کنید.

حل: چون صفحه و بارگذاری خارجی هر دو نسبت به نقطه O متقارن می‌باشند نتیجه می‌شود که صفحه بعد از تغییر شکل نیز به صورت دایره‌ای باقی خواهد ماند. این بدان معنی است که کرنش‌های شعاعی (در امتداد شعاع دایره) و محیطی (در امتداد محیط دایره) در سراسر صفحه باید یکنواخت و یکسان باشد. حال با توجه به روابط بین تنش‌ها و کرنش‌ها در تنش دو محوری (معادلات 5-17 و 5-18) و با مراجعه به حالت تنش‌ها در عنصرهای A، B و C، (از نمودار جسم آزاد عنصر B نتیجه می‌شود $\sigma_x = \sigma_0$ و از نمودار جسم آزاد عنصر C نتیجه می‌شود $\sigma_y = \sigma_0$) می‌توان نتیجه گرفت

$$\sigma_x = \sigma_y = \sigma_0$$

بنابراین حالت تنش در هر عنصر دیگری از صفحه مانند عنصر A تنش دو محوری با تنش‌های اصلی یکسان می‌باشد.

قبل از تغییر شکل صفحه حجم آن برابر است با $V_0 = \pi r^2 t$. بعد از تغییر شکل شعاع جدید صفحه $r(1 + \epsilon_x)$ و ضخامت جدید آن $t(1 + \epsilon_z)$ می‌گردد. بنابراین حجم جدید صفحه $V = \pi r^2 t (1 + \epsilon_x)^2 (1 + \epsilon_z)$ می‌باشد. با بسط دادن این عبارت و صرف نظر نمودن از توان‌های دوم و سوم کرنش‌ها که مقادیر کوچکی هستند خواهیم داشت

$$V \approx \pi r^2 t (1 + \epsilon_z + 2\epsilon_x)$$

در این صورت تغییر حجم در واحد حجم صفحه برابر می‌شود با

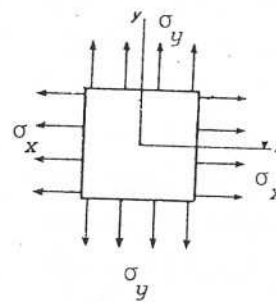
$$\frac{\Delta V}{V_0} = \frac{V - V_0}{V_0} = \frac{\pi r^2 t (\epsilon_z + 2\epsilon_x)}{\pi r^2 t} = \epsilon_z + 2\epsilon_x \quad (1)$$

حال برای حالت تنش $\sigma_x = \sigma_y = \sigma_0$ کرنش‌ها را حساب می‌کنیم.

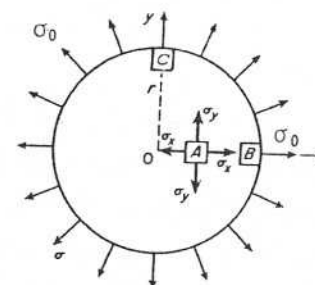
$$\epsilon_x = \epsilon_y = \frac{\sigma_x}{E} - \nu \frac{\sigma_y}{E} = \frac{(1 - \nu)\sigma_0}{E}$$

$$\epsilon_z = -\nu \left(\frac{\sigma_x}{E} + \frac{\sigma_y}{E} \right) = -\frac{2\nu\sigma_0}{E}$$

صفحه نازکی به ضخامت t در تنش دو محوری تحت تنش‌های $\sigma_x = 1400 \text{ Kg/cm}^2$ و $\sigma_y = 560 \text{ Kg/cm}^2$ قرار دارد (شکل ۵-۲۰). اگر $t = 6.3 \text{ mm}$ و $\nu = 0.25$ باشد کاهش ضخامت صفحه را پیدا کنید.



شکل ۵-۲۰



شکل ۵-۲۱

حل: کرنش در جهت محور z (عمود بر صفحه شکل) برابر است با

$$\epsilon_z = -\frac{\nu}{E} (\sigma_x + \sigma_y) = -\frac{0.25}{2.1 \times 10^6} (1400 + 560) = -2.33 \times 10^{-4}$$

اگر کاهش ضخامت صفحه را Δt بنامیم خواهیم داشت

$$\epsilon_z = \frac{\Delta t}{t} = \frac{\Delta t}{6.3} = -2.33 \times 10^{-4}$$

$$\Delta t = 0.0015 \text{ mm}$$

۲۵۵

برای بدست آوردن p از تغییر شکل استوانه فولادی در مقابل تغییر شکل استوانه لاستیکی می توان نظر نمود، به عبارت دیگر می توان فرض نمود:

$$\epsilon_x = \epsilon_y = 0$$

اما ϵ_x بر حسب تنشها به صورت زیر بیان می شود:

$$\epsilon_x = \frac{1}{E} [\sigma_x - \nu(\sigma_y + \sigma_z)] = \frac{1}{E} [-p - \nu(-p - \frac{4P}{\pi d^2})] = 0$$

از این رابطه p بدست می آید.

$$p = \frac{4\nu P}{\pi(1-\nu)d^2} = \frac{4(0.45)(500)}{\pi(1-0.45)(5)^2} = 20.83 \text{ Kg/cm}^2$$

مسئله ۵-۵

کاهش حجم یک گوی فولادی توپر به قطر 2.5 cm تحت فشار هیدرو استاتیکی $E=2.1 \times 10^6 \text{ Kg/cm}^2$ چقدر می باشد؟ ضریب ارتجاعی فولاد را $\nu=0.3$ اختیار کنید.

حل: گوی در سه جهت x ، y و z تحت فشار $p = 140 \text{ Kg/cm}^2$ می باشد.

$$\sigma_x = \sigma_y = \sigma_z = -p = -140 \text{ Kg/cm}^2$$

کرنش در جهت ϵ_x برابر است با

$$\begin{aligned} \epsilon_x &= \frac{1}{E} [\sigma_x - \nu(\sigma_y + \sigma_z)] \\ &= \frac{1}{E} [-p - \nu(-p-p)] = -\frac{(1-2\nu)p}{E} \end{aligned}$$

به علت تقارن کرنشهای ϵ_y و ϵ_z نیز برابر با ϵ_x می باشند.

$$\epsilon_y = \epsilon_z = -\frac{(1-2\nu)p}{E}$$

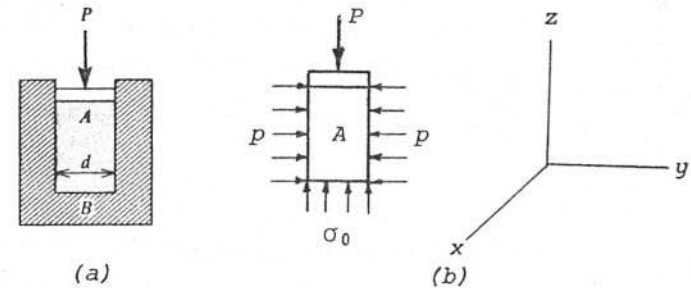
۲۵۴

با جایگزینی مقادیر کرنشها در رابطه 1 خواهیم داشت

$$\frac{\Delta V}{V_0} = \frac{2\sigma_0}{E} (1-2\nu) = \frac{2(2000)}{2(10)^6} (1-0.5) = 0.001$$

مسئله ۵-۴

استوانه لاستیکی A به قطر d در استوانه فولادی B به وسیله نیروی P فشرده می شود (شکل a-۲۲). اگر $P = 500 \text{ Kg}$ ، $d = 5 \text{ cm}$ و ضریب پواسون لاستیک $\nu = 0.45$ باشد، فشار p بین لاستیک و فولاد را تعیین کنید.



شکل ۲۲-۵

حل: اگر فشار وارد بر کف استوانه لاستیکی را σ_0 بنامیم (شکل b-۲۲) با نوشتن معادله تعادل استوانه در امتداد قائم فشار σ_0 بدست می آید.

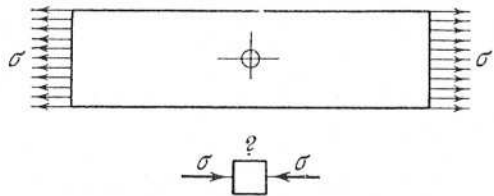
$$\sigma_0 = -\frac{P}{\frac{\pi d^2}{4}} = -\frac{4P}{\pi d^2}$$

بر استوانه لاستیکی از سه جهت x ، y و z تنش وارد می شود (تنش سه محوری) و مقدار این تنشها برابر است با

$$\sigma_x = \sigma_y = -p$$

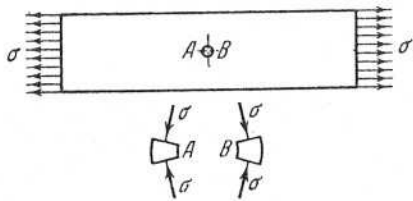
$$\sigma_z = \sigma_0 = -\frac{4P}{\pi d^2}$$

آیا می‌توانید در روی تسمه طولی که تحت تنش‌های کششی σ مطابق شکل ۵-۲۴ می‌باشد و در وسط آن سوراخی وجود دارد نقطه‌ای پیدا کنید که حالت تنش در آن یک محوری فشاری با همان تنش σ باشد؟



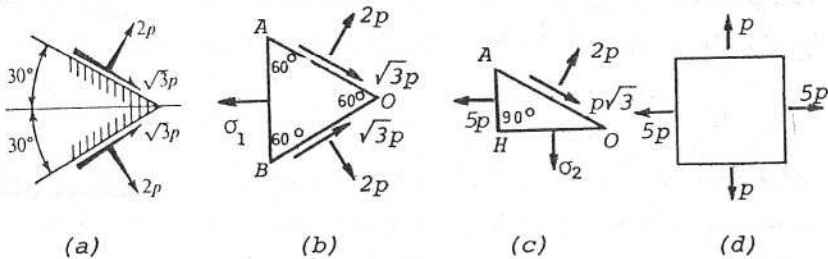
شکل ۲۴-۵

حل: نقاط A و B در دو انتهای چپ و راست سوراخ (شکل ۲۵-۵) تحت تنش یک محوری فشاری با همان تنش σ می‌باشند.



شکل ۲۵-۵

مقدار و جهت تنش‌ها روی دو صفحه متقاطع در یک نقطه مطابق شکل ۵-۲۶ a می‌باشد. مقدار و جهت تنش‌های اصلی را در نقطه مزبور تعیین کنید.



شکل ۲۶-۵

بنابراین تغییر حجم در واحد حجم برابر است با

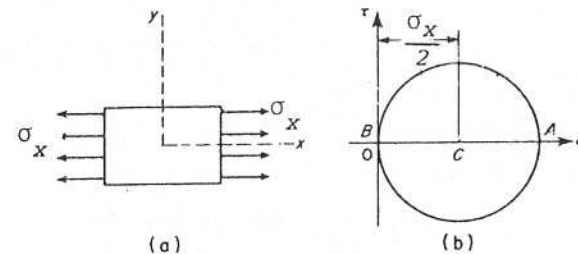
$$\frac{\Delta V}{V} = \epsilon_x + \epsilon_y + \epsilon_z = - \frac{3(1-2\nu)p}{E}$$

$$= - \frac{3(1-0.6)(140)}{2.1 \times 10^6} = -8 \times 10^{-5}$$

سرانجام کاهش حجم کره برابر است با

$$\Delta V = \frac{4}{3} \pi r^3 (8 \times 10^{-5}) = \frac{4}{3} (\pi \times 1.25^3) (8 \times 10^{-5}) = 0.65 \times 10^{-3} \text{ cm}^3$$

دایره موهر را برای حالت کشش ساده شکل a-۲۳-۵ رسم کنید.



شکل ۲۳-۵

حل: مرکز C دایره به مختصات $\sigma = \sigma_x / 2$ و $\tau = 0$ ، نقطه A به مختصات $\sigma = \sigma_x$ و $\tau = 0$ و نقطه B به مختصات $\sigma = \tau = 0$ می‌باشد. پس از تعیین محل این نقاط دایره موهر مطابق شکل b-۲۳-۵ رسم می‌گردد.

مسئله ۵-۱-۳ مثال ۱-۵ را با استفاده از دایره موهر حل کنید.

مسئله ۵-۲-۱ یک غشاء برنجی دایره‌ای نازک در سراسر لبه‌اش بر روی حلقه برنجی دایره‌ای صلبی متکی می‌باشد. غشاء مزبور در درجه حرارت اطاق (20°C) بدون تنش است. اگر درجه حرارت به 20°C- تنزل پیدا کند، تنش‌های اصلی σ_x و σ_y در غشاء چقدر خواهند بود؟
فرض کنید $E = 10^6 \text{ Kg/cm}^2$ ، $\nu = 0.3$ و $\alpha = 19 \times 10^{-6} \text{ C}^{-1}$.

مسئله ۵-۳-۱ عنصری از مصالح در تنش دومی محوری کرنش‌های اصلی $\epsilon_x = 0.00004$ و $\epsilon_y = 0.00017$ دارد. اگر $\nu = 0.3$ باشد، کرنش ϵ_z را پیدا کنید.

مسئله ۵-۳-۲ اگر در میله منشوری تحت فشار محوری نسبت تغییر حجم در واحد حجم به تغییر مساحت سطح مقطع در واحد سطح مقطع به طور عددی برابر 0.75 باشد ضریب پواسون را بدست آورید.

مسئله ۵-۳-۳ عنصری در تنش دو محوری مطابق شکل ۵-۵ در جهت‌های x و y به ترتیب کرنش‌های اصلی ϵ_x و ϵ_y دارد. کرنش ϵ_θ در امتداد θ را بر حسب ϵ_x ، ϵ_y و زاویه θ پیدا کنید. نتیجه را با معادله 5-9 مقایسه کنید.

مسئله ۵-۴-۱ صفحه فولادی مربع شکلی به اضلاع 15cm در یک جهت بوسیله تنش کشیده 750 Kg/cm^2 می‌شود و از جهت دیگر تحت تنش فشاری با همان مقدار فوق قرار دارد. کرنش را در امتداد قطرهای صفحه پیدا کنید.

مسئله ۵-۴-۲ تغییر حجم واحد حجم را برای عنصری در برش خالص پیدا کنید.

مسئله ۵-۵-۱ دایره موهر را برای حالت برش خالص (شکل ۵-۶) رسم کنید و از روی آن معادله 5-24 را اثبات کنید.

مسئله ۵-۵-۲ دایره موهر را برای حالت تنش دو محوری (شکل ۵-۵) با فرض $\sigma_x = \sigma_y = \sigma_\theta$ رسم کنید.

حل: در روی سطح قائم AB تنش برشی وجود ندارد، با نوشتن معادله تعادل عنصر مثلثی OAB می‌توان به این نتیجه رسید (شکل b ۲۶-۵). مساحت سطح AB را برابر dA فرض می‌کنیم و معادله تعادل عنصر OAB را در امتداد افق می‌نویسیم تا تنش اصلی σ_1 بدست آید.

$$\sigma_1 dA = 2(2P)dA\left(\frac{1}{2}\right) + 2(\sqrt{3}P)dA\left(\frac{\sqrt{3}}{2}\right)$$

$$\sigma_1 = 5p$$

توجه کنید مثلث OAB متساوی الاضلاع و مساحت سطوح OA و OB نیز برابر dA می‌باشد.

با نوشتن معادله تعادل عنصر OAH (شکل c ۲۶-۵) در امتداد افق نتیجه می‌شود که در سطح OH تنش برشی وجود ندارد، و تنش σ_2 با نوشتن معادله تعادل در امتداد قائم بدست می‌آید.

$$\sigma_2 \frac{\sqrt{3}}{2} dA - 2pdA\left(\frac{\sqrt{3}}{2}\right) + p\sqrt{3}dA\left(\frac{1}{2}\right) = 0$$

$$\sigma_2 = p$$

بنابراین صفحه‌های اصلی صفحه‌های افقی و قائم می‌باشند. تنش‌های اصلی در روی عنصر شکل d ۲۶-۵ مشخص شده است.

۵-۱۲ مسائل حل نشده

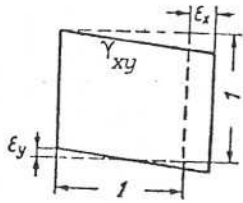
مسئله ۵-۱-۱ میله‌ای با سطح مقطع دایره‌ای بوسیله نیروی 15t کشیده می‌شود. تنش برشی در روی هیچ یک از سطوح نباید از 600 Kg/cm^2 تجاوز کند. قطر میله را حساب کنید.

مسئله ۵-۱-۲ یک میله فولادی با مقطع مربع و ضلع 25mm تحت نیروی فشاری محوری 50 kN قرار دارد. تنش‌های عمودی و برشی را در روی صفحه‌ای که نسبت به خط اثر نیروی فشاری زاویه 30° تشکیل می‌دهد پیدا کنید.

۲۶۱

مسئله ۵-۹-۲ سوراخی به شکل مکعب به ابعاد 1cm در داخل دال فولادی ضخیمی ایجاد شده است. یک مکعب فولادی در داخل سوراخ مزبور دقیقاً "جا" می‌گیرد و بوسیله نیروی $P = 700\text{Kg}$ فشرده می‌شود (شکل ۵-۹-۲). با صرف نظر نمودن از تغییر شکل‌های دال تنش‌های اصلی را در مکعب پیدا کنید.

مسئله ۵-۱۰-۱ کرنش‌ها برای یک عنصر صفحه‌ای فولادی در شکل ۵-۱۰-۱ عبارتند از $\epsilon_x = 5.32 \times 10^{-4}$ ، $\epsilon_y = -1.82 \times 10^{-4}$ ، $\gamma_{xy} = 1.19 \times 10^{-3}$ مقدار و جهت تنش‌های اصلی را پیدا کنید. برای فولاد $\nu = 0.3$ و $E = 2 \times 10^6 \text{Kg/cm}^2$.



شکل ۵-۱۰-۱

مسئله ۵-۱۰-۲ کرنش‌های اصلی ϵ_1 و ϵ_2 و جهت آنها را با فرض اینکه $\epsilon_x = 500 \times 10^{-6}$ ، $\epsilon_y = 140 \times 10^{-6}$ و $\gamma_{xy} = -360 \times 10^{-6}$ باشد پیدا کنید و نتیجه را به کمک دایره موهر کنترل نمایید.

۵-۱۳ جواب‌های مسائل حل نشده

- ۵-۱-۱ : 4cm
- ۵-۱-۲ : $\sigma = -20\text{MPa}$; $\tau = -34.6\text{MPa}$
- ۵-۲-۱ : $\sigma_x = \sigma_y = 1085\text{Kg/cm}^2$
- ۵-۳-۱ : $\nu = \frac{2}{7}$
- ۵-۳-۲ : $\nu = \frac{2}{7}$
- ۵-۳-۳ : $\epsilon_\theta = \epsilon_x \cos^2 \theta + \epsilon_y \sin^2 \theta$
- ۵-۴-۱ : $\epsilon = 0$
- ۵-۴-۲ : $\epsilon = 0$
- ۵-۵-۱ : $\tau = 495 \text{Kg/cm}^2$
- ۵-۵-۲ : $\tau = 495 \text{Kg/cm}^2$
- ۵-۵-۳ : $\tau = 495 \text{Kg/cm}^2$
- ۵-۵-۴ : $54^\circ 44'$
- ۵-۶-۱ : $\sigma_1 = 3120\text{Kg/cm}^2 (\theta_p = 97^\circ 1')$
- ۵-۶-۲ : $\sigma_2 = -5120\text{Kg/cm}^2 (\theta_p = 7^\circ 1')$

۲۶۰

مسئله ۵-۵-۳ برای عنصر شکل ۵-۵ a مقادیر تنش‌های اصلی $\sigma_x = 350\text{Kg/cm}^2$ و $\sigma_y = -700\text{Kg/cm}^2$ می‌باشد. دایره موهر را رسم کنید و مقدار زاویه θ صفحه‌ای را که در آن تنش عمودی صفر می‌باشد پیدا کنید. تنش برشی در روی این صفحه چقدر است؟

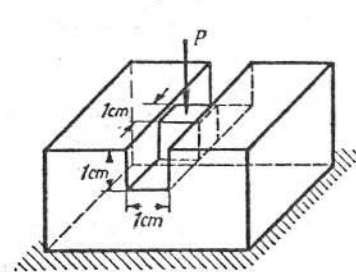
مسئله ۵-۵-۴ در شکل ۵-۵ a مقدار تنش‌های اصلی $\sigma_x = 840\text{Kg/cm}^2$ و $\sigma_y = 420\text{Kg/cm}^2$ می‌باشد. دایره موهر را برای عنصر مزبور رسم کنید و زاویه θ صفحه‌ای را که در روی آن نسبت تنش عمودی به تنش برشی مینیمم می‌باشد پیدا کنید.

مسئله ۵-۶-۱ با فرض اینکه برای عنصر شکل ۵-۹ a مقادیر تنش‌ها $\sigma_x = -5000\text{Kg/cm}^2$ ، $\sigma_y = 3000\text{Kg/cm}^2$ و $\tau_{xy} = -1000\text{Kg/cm}^2$ باشد تنش‌ها و صفحه‌های اصلی را پیدا کنید.

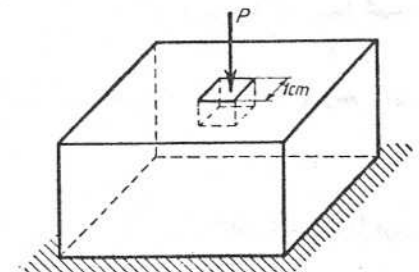
مسئله ۵-۷-۱ مسئله ۵-۶-۱ را به کمک دایره موهر حل کنید.

مسئله ۵-۸-۱ صفحه نازکی در تنش دو محوری تحت تنش‌های $\sigma_x = 10000\text{Kg/cm}^2$ و $\sigma_y = 20000\text{Kg/cm}^2$ قرار دارد. تنش‌های عمودی و برشی ماکزیمم در صفحه چقدر می‌باشند؟

مسئله ۵-۹-۱ در داخل یک قطعه فولادی ضخیم شیار مربع شکلی به اضلاع 1cm وجود دارد (شکل ۵-۹-۱). یک مکعب المینیومی با ابعاد 1x1x1 cm در داخل شیار مزبور جا گرفته و مطابق شکل تحت نیروی $P = 600\text{Kg}$ فشرده می‌شود. با فرض اینکه قطعه المینیومی تغییر شکل ناچیزی داشته باشد تنش‌های اصلی را برای مکعب المینیومی پیدا کنید. برای المینیوم $\nu = 0.33$ و $E = 0.7 \times 10^6 \text{Kg/cm}^2$.



شکل ۵-۹-۱



شکل ۵-۹-۲

۲۶۲

$$\sigma_{\max} = 20000 \text{Kg/cm}^2 ; \quad \tau_{\max} = 10000 \text{Kg/cm}^2 \quad : \quad ۵-۸-۱$$

$$\sigma_1 = 0 ; \quad \sigma_2 = -198 ; \quad \sigma_3 = -600 \text{Kg/cm}^2 \quad : \quad ۵-۹-۱$$

$$\sigma_1 = \sigma_2 = -300 ; \quad \sigma_3 = -700 \text{Kg/cm}^2 \quad : \quad ۵-۹-۲$$

$$\sigma_1 = 1600 ; \quad \sigma_3 = -600 \text{Kg/cm}^2 \quad : \quad ۵-۱۰-۱$$

σ_1 نسبت به محور افقی به اندازه 30° در جهت عقربه‌های ساعت دوران کرده است.

$$\epsilon_1 = 575 \times 10^{-6} ; \quad \theta_p = -22.5^\circ \quad : \quad ۵-۱۰-۲$$